

## Trabajo Fin de Grado

Identificación de genes implicados en la síntesis de biofilms en *Anabaena sp.* PCC7120 y análisis de su modulación por la familia de proteínas FUR (*ferric uptake regulator*)

Identification of genes involved in biofilm formation in *Anabaena sp.* PCC7120 and analysis of their regulation by the FUR (ferric uptake regulator) protein family

Autor

Germán Alonso Tolo

Directores

María Francisca Fillat Castejón  
Jorge Guío Martínez





**Departamento de  
Bioquímica y Biología  
Molecular y Celular  
Universidad Zaragoza**

María Francisca Fillat Castejón y Jorge Guío Martínez

**CERTIFICAN**

Que la memoria titulada “Identificación de genes implicados en la síntesis de biofilms en *Anabaena* sp. PCC7120 y análisis de su modulación por la familia de proteínas FUR (*ferric uptake regulator*)” presentada por Germán Alonso Tolo ha sido realizada bajo su dirección, en el Departamento de Bioquímica y Biología Molecular.

A su juicio, reúne todos los requisitos para ser presentada por su autor para la defensa de su Trabajo Fin de Grado

Zaragoza a 25 de junio de 2021

María Francisca Fillat Castejón

Jorge Guío Martínez



## **Agradecimientos**

Antes de abordar la memoria de mi Trabajo de Fin de Grado me gustaría mostrar mi agradecimiento a aquellas personas que lo han hecho posible. A María Fillat, Marisa Peleato y Emma Sevilla, por enseñarme tanto a lo largo de estos años y lograr que la Ciencia me apasione. A Jorge Guío, por su infinita paciencia conmigo, por lo mucho que me ha enseñado y por su constante esfuerzo para que este Trabajo saliese adelante. Y a Ainhoa, por hacer más amenas todas estas horas en el laboratorio y conseguir que los interminables pipeteos de agua se hiciesen entretenidos.

A mis padres, Nieves y Germán, por su esfuerzo y cariño y por su capacidad para soportarme incluso en mis peores momentos de agobio. Y a mis abuelos, Ramón y Avelina, por quererme y cuidarme siempre, por creer incondicionalmente en mí y por haberme hecho el niño y la persona más feliz del mundo. Muchas gracias por todo.



# Índice

<b>1. Resumen/abstract</b>	<b>1</b>
1.1. Resumen . . . . .	1
1.2. Abstract . . . . .	1
<b>2. Introducción</b>	<b>2</b>
2.1. Las cianobacterias . . . . .	2
2.2. Los biofilms en cianobacterias . . . . .	2
2.2.1. Composición y características de los biofilms en cianobacterias . . . . .	2
2.2.2. Mecanismos implicados en la producción de biofilms en cianobacterias . . .	3
2.2.3. Interés biológico del estudio de la producción de biofilms en cianobacterias	5
2.3. Las proteínas FUR y su relación con la formación de biofilms . . . . .	6
<b>3. Objetivos</b>	<b>7</b>
<b>4. Materiales y métodos</b>	<b>7</b>
4.1. Técnicas de trabajo con DNA . . . . .	7
4.1.1. Reacción en cadena de la polimerasa (PCR) . . . . .	7
4.1.2. Electroforesis de DNA . . . . .	7
4.1.3. Purificación y cuantificación de los productos de PCR . . . . .	7
4.2. Ensayos de retardo en gel (EMSA) . . . . .	8
4.3. Herramientas bioinformáticas . . . . .	8
<b>5. Resultados y discusión</b>	<b>9</b>
5.1. Identificación de genes potencialmente implicados en la formación de biofilms en <i>Anabaena sp.</i> PCC 7120 . . . . .	9
5.2. Análisis bioinformático de la presencia de cajas FUR en regiones promotoras de genes potencialmente implicados en la formación de biofilms en <i>Anabaena sp.</i> PCC7120 . . . . .	13
5.3. Estudio de la modulación de genes potencialmente implicados en la formación de biofilms en <i>Anabaena sp.</i> PCC7120 por las proteínas FUR . . . . .	16
5.4. Discusión global y perspectivas futuras . . . . .	22
<b>6. Conclusiones</b>	<b>23</b>
<b>7. Bibliografía</b>	<b>24</b>



## Abreviaturas

- FUR: *ferric uptake regulator protein family*.
- Fur: *ferric uptake regulator*.
- Zur: *zinc uptake regulator*.
- PerR: *peroxide stress regulator*.
- EMSA: ensayo de retardo en gel.
- EPS: sustancias poliméricas extracelulares.
- Kdo: ácido cetodesoxioctonoico.
- PCR: reacción en cadena de la polimerasa.
- dNTP: desoxinucleótidos trifosfato.
- TBE: Tris, borato, EDTA.
- EDTA: ácido etilendiaminotetraacético.
- TEMED: tetramethylethylenediamine.
- DTT: 1,4-ditiotreitol.
- PSA: persulfato de amonio.
- BLAST: basic local alignment search tool.



## 1. Resumen/abstract

### 1.1. Resumen

Las cianobacterias son microorganismos fotosintéticos surgidos hace 3.500 millones de años y que, como otras bacterias, pueden crecer formando biofilms, agregados microbianos en los que viven rodeadas de una matriz de sustancias poliméricas extracelulares. Estos biofilms cianobacterianos son interesantes por sus aplicaciones en el tratamiento de aguas residuales, la biorremediación o la producción de biocombustibles.

Aunque los mecanismos reguladores de la formación de biofilms en bacterias heterótrofas han sido caracterizados, en el caso de las cianobacterias el conocimiento es todavía limitado. Las cianobacterias presentan una familia de reguladores transcripcionales, las proteínas FUR (*ferric uptake regulator*), implicados en la respuesta a estreses abióticos. Controlan principalmente la homeostasis de metales como el hierro y el zinc, aunque también otros procesos como la respuesta frente a estrés oxidativo o la deficiencia de nitrógeno. Dado que los biofilms se sintetizan en respuesta a condiciones de estrés, se ha estudiado la modulación de su formación en la cianobacteria *Anabaena sp. PCC7120* por parte de las proteínas FUR.

La realización de una revisión bibliográfica junto con estudios de homología han permitido identificar más de 100 genes potencialmente implicados en la formación de biofilms en *Anabaena sp. PCC7120*. Además, se ha analizado mediante ensayos de retardo en gel (EMSA) la regulación de estos genes por parte de las proteínas FUR, lo que ha permitido identificar 54 genes directamente regulados por estas proteínas. Se pone así de manifiesto que las proteínas FUR juegan un papel clave en la regulación de la formación de biofilms en *Anabaena sp. PCC7120*.

### 1.2. Abstract

Cyanobacteria are photosynthetic microorganisms which appeared 3.500 million years ago. As many other bacteria, cyanobacteria can grow forming biofilms, microbial aggregates in which cyanobacteria live surrounded by a matrix of extracellular polymeric substances. These cyanobacterial biofilms are interesting because of their applications in residual water treatment, bioremediation or in the production of biofuels.

Although the mechanisms involved in the regulation of biofilm formation in heterotrophic bacteria are precisely described, little is known about the factors controlling biofilm formation in cyanobacteria. Cyanobacteria present a family of transcriptional regulators, FUR (ferric uptake regulator) proteins, which participate in the abiotic stress response. FUR proteins mainly control the homeostasis of metals like iron and zinc, but also other events such as the response against oxidative stress or nitrogen starvation. As biofilms are formed under stress conditions, the regulation of their formation by FUR proteins has been studied in the cyanobacteria *Anabaena sp. PCC7120*.

The bibliographic revision performed, altogether with homology studies, allowed identifying more than 100 genes potentially involved in biofilm formation in *Anabaena sp. PCC7120*. Moreover, the regulation of these genes by FUR proteins was studied by electrophoretic mobility shift assays (EMSA), leading to the identification of 54 genes directly regulated by these proteins. Thus, the regulating role of FUR proteins in biofilm formation in *Anabaena sp. PCC7120* is demonstrated.

## 2. Introducción

### 2.1. Las cianobacterias

Las cianobacterias son organismos procariotas fotosintéticos que habitan la mayoría de los ambientes con luz. Surgieron hace unos 3.500 millones de años y su aparición supuso un cambio en la atmósfera, pues comenzaron a liberar O<sub>2</sub> a la misma (1). Estos organismos se encuentran entre los más abundantes del planeta y su crecimiento está principalmente limitado por la disponibilidad de fósforo y hierro (2). Por el contrario, ante una deficiencia de nitrógeno, muchas cianobacterias son capaces de fijar N<sub>2</sub> atmosférico mediante la enzima nitrogenasa, sensible al O<sub>2</sub>. Dado que en la fotosíntesis se produce O<sub>2</sub>, las cianobacterias han desarrollado dos estrategias para que la nitrogenasa no se vea afectada. Hay cianobacterias que realizan la fotosíntesis durante el día y fijan N<sub>2</sub> por la noche, mientras que algunas cianobacterias filamentosas separan el proceso espacialmente y fijan el N<sub>2</sub> en el heterocisto, una célula especializada con el ambiente anaerobio necesario para ello (3). Esta capacidad para fijar el N<sub>2</sub> permite a las cianobacterias formar asociaciones simbióticas con otros organismos, a los que aportan materia nitrogenada (1).

La inoculación de cianobacterias se ha aplicado a la mejora de suelos áridos y a la fertilización de la tierra, sobre todo mediante su enriquecimiento en N (1). En esta fertilización es habitual el uso del helecho *Azolla* en simbiosis con la cianobacteria *Anabaena azollae* (4). A pesar de sus utilidades, las cianobacterias también pueden resultar perjudiciales. Es el caso de los *blooms*, crecimientos desmedidos de estos organismos. Destacan los de *Microcystis spp.*, peligrosos por la presencia de toxinas dañinas para humanos, mamíferos y otros organismos (5).

### 2.2. Los biofilms en cianobacterias

Los microorganismos, en la naturaleza, pueden vivir formando biofilms, agregados microbianos que habitualmente se forman en la interfase entre un sólido y un líquido (6). En un único biofilm habitan distintas especies bacterianas formando consorcios estables y dentro de ellos se generan gradientes físico-químicos y son habituales los fenómenos de comunicación celular y de transferencia génica horizontal (7).

#### 2.2.1. Composición y características de los biofilms en cianobacterias

Las bacterias de un biofilm suponen menos de un 10 % del peso seco del mismo al estar formados principalmente por una matriz de sustancias poliméricas extracelulares (EPS). Estos EPS son principalmente exopolisacáridos, y pueden permanecer unidos covalentemente a la superficie celular o ser liberados al medio (7). Entre los polisacáridos de los biofilms aparecen, por una parte, homopolisacáridos sintetizados a partir de sacarosa mediante actividades enzimáticas tipo invertasa, y, por otra parte, heteropolisacáridos, constituidos por diversos tipos de monosacáridos y que son sintetizadas por enzimas del grupo de las glicosiltransferasa (8).

En el caso de las cianobacterias, los EPS están constituidos principalmente por heteropolisacáridos (8) y tienen características distintivas del resto de EPS bacterianos. Por una parte, presentan dos moléculas de ácido urónico, y es habitual también la presencia de grupos sulfato, lo cual confiere a los EPS una naturaleza aniónica que les permite actuar como quelantes de metales (9). Sin embargo, aproximadamente un 12 % del peso seco de los EPS está constituido por polisacáridos de naturaleza hidrófoba como consecuencia de la esterificación de grupos acetilo o la presencia de dominios peptídicos o deoxiazúcares como fucosa o ramnosa (8).

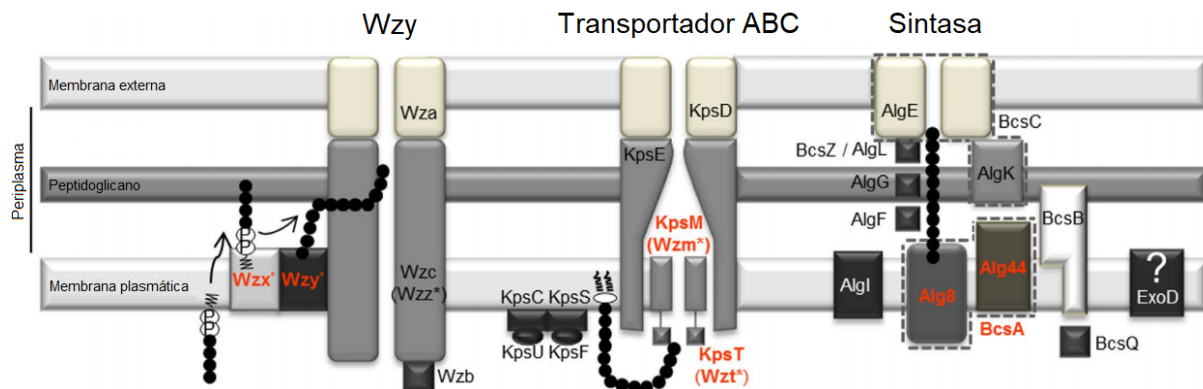
De los heteropolisacáridos que constituyen los EPS cianobacterianos, aproximadamente el 75 % contienen 6 o más tipos de monosacáridos (10). En total, se han identificado 12 tipos de monosacáridos que constituyen estos polímeros, entre los que aparecen las hexosas glucosa, galactosa, manosa y fructosa, las pentosas ribosa, xilosa y arabinosa, las deoxihexosas fucosa, ramnosa y metil-ramnosa, y los ácidos glucurónico y galacturónico (10). En los EPS, además, aparecen moléculas de otra naturaleza, como polipéptidos y lípidos. Los polipéptidos son ricos en glicina, alanina, valina, leucina, isoleucina y fenilalanina, confieren estabilidad mecánica al biofilm y aumentan su capacidad adherente (11). Respecto a los lípidos, permiten que las células resistan a las altas tensiones superficiales del agua que rodea el biofilm, facilitando así el crecimiento bacteriano en superficies (11).

La producción de todas estas moléculas y la consecuente formación de biofilms es uno de los principales motivos que permite a las cianobacterias sobrevivir en ambientes hostiles (8). Por una parte, la producción de EPS permite a las cianobacterias sobrevivir a la desecación, pues sus componentes hidrófilos retienen agua y regulan la pérdida y captación de la misma (12). Además, a los biofilms se les asocian otros papeles protectores. Por una parte, las propiedades hidrófobas de algunos EPS se asocian con la capacidad de las cianobacterias para crecer sobre superficies sin ser arrastradas por el agua (13). Por otra parte, se ha observado un efecto protector frente a la biominerización (14), y la presencia de pigmentos y aminoácidos tipo microsporina sugieren que el biofilm pueda proteger a las células de las radiaciones ultravioleta (15). Finalmente, los EPS pueden jugar un papel relevante en el control de la homeostasis de los metales. El carácter aniónico de muchos EPS podría favorecer el enriquecimiento del medio en metales escasos y esenciales para las cianobacterias (16), y del mismo modo podría permitir quitar metales tóxicos para estas (17).

La única función de los biofilms cianobacterianos plenamente confirmada empíricamente es la de protección frente a la desecación (12). El resto de funciones, por el contrario, siguen estudiándose. Del mismo modo, la información sobre el proceso de formación de biofilms es escasa, y siguen investigándose activamente los mecanismos implicados en el proceso, lo cual ha dado lugar a la descripción de varios modelos que explican la síntesis y secreción de los EPS.

### **2.2.2. Mecanismos implicados en la producción de biofilms en cianobacterias**

Son numerosos los estudios que tratan de describir la genética y la bioquímica del proceso de producción de EPS en bacterias. En cianobacterias, sin embargo, este campo no ha sido explorado exhaustivamente, y, como se ha mencionado, la información disponible es todavía limitada. Los estudios llevados a cabo en bacterias muestran una gran variabilidad en las vías de producción de EPS, pero sin embargo los mecanismos implicados en todos estos procesos parecen estar conservados evolutivamente. Tradicionalmente, se describen cuatro etapas en el proceso de síntesis y exportación de los EPS (8). En primer lugar, los monosacáridos se activan en el citosol y, tras ello, se forman las unidades repetidas por la unión de los monosacáridos a un *carrier* por acción de glicosiltransferasas a nivel de la membrana plasmática. Posteriormente, estas unidades repetidas se polimerizan en el periplasma y el polímero formado se exporta finalmente a la superficie celular (8). Comparando la información disponible sobre la síntesis y secreción de EPS en bacterias y la información genética de diversas cianobacterias, se han propuesto tres sistemas para la producción de EPS en cianobacterias: el sistema Wzy dependiente, el sistema dependiente de transportadores de tipo ABC y el sistema dependiente de sintasa (Figura 1).



**Figura 1.** Funcionamiento de los sistemas Wzy dependiente, dependiente de transportador ABC y dependiente de sintasa. Las proteínas marcadas con un asterisco participan también en la síntesis del antígeno O, y las marcadas con una interrogación tienen una función desconocida. Adaptado de Pereira *et al.* (18).

En el caso del sistema Wzy dependiente, las glicosiltransferasas transfieren los azúcares activados a un *carrier* lipídico, formándose así las unidades repetidas de azúcares que conformarán posteriormente los EPS (8). Estas unidades de azúcares unidas al *carrier* son volteadas por una proteína Wzx, de modo que pasan a localizarse en el periplasma. Allí, la proteína Wzy une estas unidades repetidas de azúcares, formándose el polisacárido que posteriormente será secretado (8). Este proceso requiere de otra proteína auxiliar, Wzc, que parece controlar la longitud del polímero en síntesis. La proteína Wzc presenta actividad ATPasa y autoquinasa, y su estado de fosforilación está además regulado por Wzb, una fosfatasa (19). Finalmente, implicada en este sistema aparece Wza, que forma un canal a través del que se exporta el polisacárido a la superficie celular. Este proceso parece requerir de la unión física de Wza y Wzc (8).

En el caso del sistema dependiente de transportador ABC, los polisacáridos se sintetizan completamente en el citoplasma. En este sistema, el *carrier* al que se unen los polisacáridos es una molécula de ácido 3-deoxi-D-mano-octo-2-ulosónico (ácido cetodesoxioctonoico, Kdo), que es sintetizado por las proteínas KpsC, KpsF, KpsS y KpsU. Una vez ha sido sintetizado, el polisacárido es exportado por el transportador ABC, constituido por las proteínas KpsM y KpsT, que permiten su salida al periplasma. Desde el periplasma, finalmente, el polisacárido es externalizado a través de las proteínas KpsE y KpsD, una polisacárido copolimerasa y una proteína de la membrana externa de exportación de polisacáridos, respectivamente (18).

Finalmente, se encuentra el sistema dependiente de sintasa, descrito para la síntesis de alginato y celulosa. En este caso, la polimerización y exportación de los polisacáridos se dan simultáneamente y los azúcares son activados mediante la unión de una molécula de di-GMP. Estos azúcares activados son reconocidos por Alg44 en el caso de la síntesis de alginato y por BcsA en el caso de la síntesis de celulosa mediante motivos de unión a c-di-GMP, y son transferidos a Alg8 o BcsA, las sintetasas de alginato y celulosa, respectivamente, que unen el azúcar a la cadena de polisacárido en crecimiento. En el caso de la síntesis de alginato están implicadas las proteínas AlgF, AlgG y AlgI, que modifican el polímero en el periplasma, y la proteína AlgL que degrada el alginato que se pueda acumular. En la síntesis de celulosa aparece una proteína BcsZ que cumple con la misma función que AlgL, así como otras proteínas esenciales para el proceso pero con función desconocida, BcsB y BcsQ. Finalmente, la exportación del alginato depende de la proteína de andamiaje AlgK y de la porina AlgE, mientras que en el caso de la celulosa el proceso está mediado por BcsC, que combina ambas funciones (18).

### 2.2.3. Interés biológico del estudio de la producción de biofilms en cianobacterias

El estudio de los biofilms y su producción resulta muy interesante por las numerosas aplicaciones de los mismos. Una de las más importantes es el tratamiento de aguas residuales (20). Las cianobacterias asimilan los nutrientes de estas aguas y, junto con el carbono fijado a partir del CO<sub>2</sub>, producen biomasa. De este modo, compuestos como amonio, nitratos y nitritos, urea y aminoácidos son captados por las cianobacterias y, en consecuencia, el nitrógeno no se disipa en la atmósfera sino que queda retenido en forma de biomasa. La utilización de biofilms en el tratamiento de estas aguas resulta muy ventajosa, pues elimina los problemas de separación de las algas en suspensión y las aguas ya tratadas. Además de eliminar los compuestos nitrogenados, el uso de biofilms cianobacterianos permite atajar otros problemas. Su actividad fotosintética produce un aumento del pH y, en consecuencia, precipitan los fosfatos y disminuye la viabilidad de las bacterias fecales (21).

El hecho de que el nitrógeno de las aguas quede retenido en los biofilms lleva a una segunda aplicación de los mismos, en este caso a nivel agrícola. Los biofilms cianobacterianos pueden utilizarse directamente como fertilizantes o pueden agregarse a los suelos para enriquecerlos en nitrógeno gracias a la capacidad de algunas cianobacterias para fijar el N<sub>2</sub> atmosférico. Además, se ha visto que los EPS mejoran las propiedades del suelo, aumentando su capacidad de retención de agua y su resistencia a la erosión, lo cual contribuye a evitar la desertificación (21). Las cianobacterias, además, secretan fitohormonas como el ácido indolacético y otros metabolitos secundarios que inducen las respuestas contra patógenos en las plantas, protegiéndolas así de plagas y enfermedades. Esta producción de fitohormonas se ve aumentada en los biofilms (22). Además, los biofilms cianobacterianos son ricos en nutrientes, de modo que constituyen un nicho idóneo para el desarrollo de bacterias heterótrofas, pudiendo promover así el crecimiento de bacterias beneficiosas como las del género *Rhizobium* (22).

Del mismo modo que la biomasa producida en el tratamiento de aguas residuales puede utilizarse como fertilizante, esta puede utilizarse también como biomasa. Aparece así otro de los usos de los biofilms cianobacterianos, la producción de biocombustibles, que permite además revalorizar los productos derivados del tratamiento de aguas. En este contexto, además, es de interés de la producción de H<sub>2</sub>, una alternativa limpia a los combustibles fósiles, pues su combustión genera únicamente agua. Las cianobacterias son organismos prometedores en la producción de hidrógeno, ya sea mediante una actividad hidrogenasa o mediante la actividad nitrogenasa responsable de la fijación del N<sub>2</sub>, y que libera también H<sub>2</sub> (23). La producción de H<sub>2</sub> podría mejorarse notablemente si se llevase a cabo en biofilms, al poder construirse ensamblados bien definidos que contuviesen las poblaciones de cianobacterias adecuadas y con las modificaciones genéticas necesarias para la optimización del proceso (21).

Resulta también de interés la aplicación de los biofilms cianobacterianos a nivel de bioremedición. Por una parte, el carácter aniónico de los EPS permite utilizarlos como quelantes de metales pesados para retirar estos elementos de los medios (21). Se ha observado también la capacidad de los biofilms cianobacterianos para oxidar pesticidas y herbicidas, así como para acumular compuestos insecticidas. Es interesante, del mismo modo, la aplicación de los biofilms en la eliminación de vertidos de petróleo, no tanto por su acción directa sobre el proceso sino por su efecto beneficioso sobre el crecimiento de las bacterias que encargadas de la degradación de los hidrocarburos, a las que proveen de una fuente de nitrógeno gracias su capacidad para fijar el N<sub>2</sub> atmosférico (22).

Dadas las múltiples aplicaciones de los biofilms y el escaso conocimiento de sus vías de producción y de la regulación de su formación, resulta interesante abordar el estudio sobre cómo las cianobacterias son capaces de formarlos. La caracterización del proceso permitiría obtener nuevas cepas de cianobacterias modificadas genéticamente para su aplicación en los procesos descritos, de modo que un estudio más profundo de las rutas bioquímicas de síntesis y de su regulación es de gran interés.

### 2.3. Las proteínas FUR y su relación con la formación de biofilms

Las proteínas FUR (*ferric uptake regulator*) son una superfamilia de proteínas ubicuas en organismos procariotas. Son reguladores de la expresión génica y actúan uniéndose a regiones del DNA ricas en A y T denominadas cajas FUR (24). Se caracterizan por la presencia de un dominio rico en histidinas con la secuencia HHHXHX<sub>2</sub>CX<sub>2</sub>C en la región C-terminal, siendo X un residuo cualquiera, habitualmente ácido aspártico (24). Tradicionalmente se ha descrito que las proteínas FUR regulan la expresión génica en forma dimérica, reprimiéndola y utilizando metales divalentes como correpresores. Además, muchas de ellas presentan un sitio de unión a otro metal, Zn<sup>2+</sup>, el cual presenta una función estructural (25). Sin embargo, más recientemente, se ha visto que las proteínas FUR tienen también la capacidad de actuar como activadores transcripcionales y de unirse al DNA en ausencia del metal correpresor (25). Los estudios de cristalografía de rayos X de la proteína Fur de *Campylobacter jejuni* muestran que el sitio de unión al DNA en ausencia del metal correpresor está rotado 180° respecto de orientación en presencia del metal, lo cual plantea la posibilidad de que la proteína se una a distintas regiones del DNA en ausencia y presencia de metales (24).

*Anabaena sp.* PCC7120 presenta tres parálogos FUR, FurA, FurB y FurC. FurA es el principal regulador de la homeostasis del hierro (24), aunque se ha observado que además regula otros procesos como el metabolismo del N<sub>2</sub>, la fotosíntesis y la morfología celular, actuando como un regulador global (26). Respecto a FurB, es una proteína Zur, un regulador del metabolismo del zinc, pero está también implicada en otros procesos como la regulación del estrés oxidativo (27). Finalmente, FurC es una proteína semejante a las proteínas PerR, relacionadas con la respuesta al estrés oxidativo, pero presenta actividades que no se habían asociado antes a las proteínas PerR, al participar en el remodelado de la maquinaria fotosintética tras la fotooxidación (28) y en el metabolismo del N<sub>2</sub> (29).

Dado el papel que juegan las proteínas FUR en la respuesta a estreses físico-químicos, y que los biofilms se sintetizan en muchas ocasiones como protección ante estos estreses, cabe pensar que las proteínas FUR pueden jugar un rol importante en la regulación de su formación. Los estudios con estirpes de *Anabaena sp.* PCC7120 que sobreexpresan las proteínas FUR muestran que la producción de biofilms está relacionada con estas proteínas. Aunque en la estirpe de sobreexpresión de FurB no hay cambios notables en la producción de biofilms, las estirpes de sobreexpresión de FurA y de FurC producen entre 3 y 4 veces más biofilm que la estirpe silvestre. Ante estreses salinos y en deficiencia de nitrógeno, la formación de biofilms aumenta también en la estirpe de sobreexpresión de FurC. Este aumento, ante los estreses nombrados, es algo más sutil cuando se sobreexpresa FurA, mientras que cuando la proteína sobreexpresada es FurB cesa la formación de biofilms por parte de la cianobacteria. A pesar de estas observaciones, los datos sobre el control de la formación de biofilms por parte de las proteínas FUR son limitados, lo cual abre un amplio campo de estudio todavía por explorar (30).

### 3. Objetivos

El propósito de este trabajo es el de analizar el papel de las proteínas FUR en la regulación de la formación de biofilms en *Anabaena sp.* PCC7120. Así, se establecen los siguientes objetivos:

- Identificar genes potencialmente implicados en la formación de biofilms en *Anabaena sp.* PCC7120.
- Localizar por métodos bioinformáticos secuencias de unión para las proteínas FUR en las regiones promotoras de los genes potencialmente implicados en la formación de biofilms.
- Analizar mediante ensayos de retardo en gel (EMSA) la capacidad de las proteínas FUR para unirse a las regiones promotoras de estos genes.

## 4. Materiales y métodos

### 4.1. Técnicas de trabajo con DNA

#### 4.1.1. Reacción en cadena de la polimerasa (PCR)

La PCR se utilizó para amplificar, a partir del DNA genómico de *Anabaena sp.* PCC7120, los promotores de los genes que se analizaron mediante ensayos de retardo en gel (EMSA). Cada mezcla de reacción contenía 72 µL de agua miliQ estéril, 10 µL de buffer 10x (Tris-HCl 75 mM pH 9,0, KCl 50 mM, (NH<sub>4</sub>)<sub>2</sub>SO<sub>4</sub> 20 mM), 3 µL de MgCl<sub>2</sub> 50 mM, 2 µL de mezcla de dNTPs 10 mM, 2,5 µL de cebador directo 20 µM, 2,5 µL de cebador reverso 20 µM, 1 µL de Taq DNA polimerasa 5 U/µL (*Biotoools*) y 100 ng de DNA genómico. La amplificación se llevó a cabo en un termociclador *Thermal Cycler 2720* (*Applied Biosystems*). El programa del termociclador y los oligonucleótidos utilizados se indican en las secciones 8.1 y 8.2 de Material Suplementario, respectivamente.

#### 4.1.2. Electroforesis de DNA

Se llevó a cabo una electroforesis de DNA en gel de agarosa al 1% (p/v) con un 1% (v/v) de bromuro de etidio para comprobar la correcta amplificación de los promotores y la ausencia de productos inespecíficos de PCR. Para ello disolvieron 0,5 g de agarosa en 50 mL de tampón TBE (Tris-HCl 90 mM pH 8, ácido bórico 90 mM y EDTA 2 mM) calentando la mezcla en un microondas. Una vez disuelta, la mezcla se dejó enfriar y, antes de su solidificación, se añadieron 50 µL de bromuro de etidio 0,5 g/mL. Para realizar la electroforesis se tomaron 4 µL de cada muestra a analizar y se mezclaron con 3 µL de tampón de carga (Tris-HCl 50 mM pH 8, 30% de glicerol (v/v) y 0,25% (p/v) de azul de bromofenol), tras lo que se cargaron individualmente en el gel de agarosa. La electroforesis se realizó en tampón TBE durante 25 minutos utilizando una fuente *BioRad PowerPac300*. Para visualizar los resultados se utilizó un equipo *GelDoc200* (*BioRad*) y el programa *MultiAnalist 1.1* (*BioRad Laboratories*, 1997).

#### 4.1.3. Purificación y cuantificación de los productos de PCR

Para eliminar los reactivos de la PCR, que podrían interferir más tarde en el trabajo, los promotores se purificaron utilizando el *kit GFXTM PCR DNA and Gel band Purification* (*GE Healthcare*), siguiendo las indicaciones del fabricante. Finalmente, se determinó la concentración de los productos de PCR utilizando un equipo *NanoVue PlusTM* (*GE Healthcare*).

#### 4.2. Ensayos de retardo en gel (EMSA)

El estudio de la unión *in vitro* de FurA, FurB y FurC a los distintos promotores se realizó mediante ensayos de retardo en gel (*electrophoretic mobility shift assay*, EMSA). Estos ensayos se basan en el hecho de que la unión de las proteínas FUR a fragmentos de DNA diana produce una migración del DNA retardada con respecto del DNA libre. Para garantizar que la unión de las proteínas al DNA es específica, los ensayos se realizan en presencia de un DNA competidor, un fragmento interno del gen *pkn22* (*ifpkn22*) con el que no hay unión específica.

Los EMSA se realizaron en geles de poliacrilamida no desnaturalizantes al 6 % para permitir la migración de los complejos DNA-proteína. Los geles se prepararon mezclando 5,79 mL de agua miliQ estéril, 2 mL de acrilamida:bisacrilamida (30:0,8 p/v), 0,93 mL de *Running Buffer* 10x (30,28 g/L Tris-HCl, 142 g/L glicina, pH 8,5), 1,4 mL de glicerol al 50 %, 50 µL de PSA al 10 % y 30 µL de TEMED. Además, en la mezcla de los geles para ensayar FurA y FurC, se añadió MnCl<sub>2</sub> a una concentración de 100 µM. Una vez preparados, los geles se precorrieron durante al menos 1 hora a 60 V y 4 °C en el *buffer* utilizado para preparar los geles. En el caso de los geles para el estudio de FurA y FurC, el *buffer* además contenía MnCl<sub>2</sub> 100 µM.

Cada mezcla de reacción se preparó mezclando 2 µL de *buffer* de unión 10x (Bis-Tris 10 mM pH 7,5, KCl 40 mM, glicerol 5 % (v/v)), 1 µL de BSA a 1 mg/mL, 1 µL de DTT 20 mM y 1 µL de MnCl<sub>2</sub> 2mM. Sobre estas mezclas se añadió cada promotor y proteína a estudiar, además del DNA inespecífico, y se completó con agua miliQ estéril hasta un volumen final de 20 µL. Para FurA, se añadieron 100 ng de *ifpkn22* y 100 ng de promotor, y la unión DNA-proteína se estudió en presencia de FurA a 100 nM, 150 nM y 200 nM. En el caso de FurB, se añadieron 50 ng de *ifpkn22* y 50 ng de promotor, y la unión DNA-proteína estudió presencia de FurB a 100 nM, 200 nM y 300 nM. En el caso de FurC, se añadieron 50 ng de *ifpkn22* y 50 ng de promotor, y la unión DNA-proteína estudió en presencia FurC a 100 nM, 175 nM y 250 nM. En todos los casos, además, se realizó el estudio en ausencia de proteína, y se introdujo un control negativo y otro positivo en cada gel. Las mezclas se incubaron a temperatura ambiente durante 30 minutos y, tras esto, se mezclaron con 3 µL de *buffer* de carga (Tris-HCl 50 mM pH 8, glicerol 30 % (v/v) y azul de bromofenol 0,05 % (p/v)). A continuación, y tras limpiar los pocillos, se cargaron los 20 µL de cada *mix* y se llevó a cabo la electroforesis a 90 V y 4 °C durante 90 minutos. Finalizadas las electroforesis, los geles se tiñeron con 1 µg/mL de *SyBr® Safe Fluorescent Dye* durante 10 minutos, en agitación y oscuridad, para luego ser revelados en un transiluminador *BioRad Gel Doc 2000*.

#### 4.3. Herramientas bioinformáticas

La búsqueda de genes de *Anabaena sp.* PCC7120 potencialmente implicados en la formación de biofilms a partir de genes de otras especies se llevó a cabo realizando un BLAST de proteínas. Para ello, se obtuvo de KEGG ([www.genome.jp/kegg/](http://www.genome.jp/kegg/)) la secuencia de aminoácidos de las proteínas identificadas en estas otras especies, y se identificó el homólogo en *Anabaena sp.* PCC7120 utilizando la herramienta BLAST del NCBI ([www.ncbi.nlm.nih.gov/](http://www.ncbi.nlm.nih.gov/)). En los genes identificados, por homología o directamente de la literatura, se llevó a cabo una búsqueda de cajas FUR. Para ello, desde KEGG, se obtuvo la secuencia promotora de los genes, y realizó una búsqueda de cajas con la herramienta FIMO de MEMEsuite ([meme-suite.org/meme/](http://meme-suite.org/meme/)) utilizando como *cut off* un p-valor de 10<sup>-4</sup>. Las matrices de peso utilizadas en la búsqueda de cajas FUR se adjuntan en la sección 8.3 de Material Suplementario.

## 5. Resultados y discusión

### 5.1. Identificación de genes potencialmente implicados en la formación de biofilms en *Anabaena sp.* PCC 7120

Con la intención de identificar genes potencialmente implicados en la formación de biofilms en *Anabaena sp.* PCC7120 se llevó a cabo un revisión bibliográfica que permitió encontrar genes relacionados con la formación de biofilms, tanto en *Anabaena sp.* PCC7120 como en otros microorganismos, en cuyo caso se buscó el gen homólogo en *Anabaena sp.* PCC7120 mediante un BLAST de proteínas. Los resultados de la búsqueda se resumen en la Tabla 1.

Grupo de genes	Genes	Número de genes
Producción de EPS	Glicosiltransferasas	27
	Biosíntesis de polisacáridos	4
	Proteínas modificadoras de monosacáridos	7
	Biosíntesis de lipopolisacáridos	1
	Biosíntesis de poliaminoácidos	1
Sistemas de síntesis de EPS	Sistema Wzy dependiente	18
	Sistema dependiente de transportador de tipo ABC	16
	Sistema dependiente de sintasa	3
Factores de transcripción		1
Sistema de la cianoexosortasa		2

**Tabla 1.** Funciones desempeñadas por los genes de *Anabaena sp.* PCC7120 potencialmente implicados en la formación de biofilms.

En la Tabla 1 se indica, de forma resumida, el resultado de la búsqueda de genes potencialmente implicados en la formación de biofilms en *Anabaena sp.* PCC7120. Entre los genes aparecen, por una parte, genes codificantes de enzimas implicadas en la producción de EPS, principalmente genes de glicosiltransferasas, proteínas de biosíntesis de polisacáridos y proteínas transformadoras de monosacáridos, así como genes codificantes de proteínas implicadas en la síntesis de lipopolisacáridos y poliaminoácidos como la cianoficina. Por otra parte, se han identificado también genes de los sistemas de síntesis de biofilms previamente descritos; genes codificantes de proteínas del sistema Wzy dependiente (Wza, Wzb, Wzc, Wzx y Wzy), genes codificantes de proteínas del sistema dependiente de transportador de tipo ABC (KpsC, KpsD, KpsE, KpsF, KpsM, KpsS, KpsT y KpsU) y genes codificantes de proteínas del sistema dependiente de sintasa (Alg8 y Alg44). Finalmente, se han encontrado genes codificantes de factores de transcripción y de proteínas del sistema de la cianoexosortasa, proteasas que reconocen señales del extremo C-terminal de las proteínas y que las unen a la membrana plasmática. Son, por tanto, proteínas que podrían estar implicadas en la fijación de los componentes proteicos de los biofilms a la superficie de las cianobacterias.

Todos los genes identificados en la revisión bibliográfica, sus organismos de origen y los genes homólogos en *Anabaena sp.* PCC7120 se recogen en la Tabla 2, junto con la anotación de todos ellos obtenida de KEGG y MicrobesOnline.

Paper	Organismo	Proteína	Gen	Gen	Identidad (%)
					Anotación
(31)	<i>Synechocystis</i> PCC6803	Exopolysaccharide export protein; KpsE Polysaccharide biosynthesis/export protein; GumB/KpsD Exopolysaccharide synthesis protein; ExoD Lipopolysaccharide transport system permease protein Lipopolysaccharide transport system ATP-binding protein ABC-2 type transport system ATP-binding protein Lipopolysaccharide transport system permease protein	<i>slr0923 (cpsB)</i> <i>slr1581 (gumB)</i> <i>slr1875 (exoD)</i> <i>slr0977</i> <i>slr0982 (ribB)</i> <i>slr0575 (ribB)</i> <i>slr0574 (ribA)</i> <i>all0917</i> <i>all4486</i> <i>all4485</i>	<i>all5222</i> <i>SLBB domain-containing protein</i> <i>Exopolysaccharide biosynthesis protein</i> <i>ABC transporter permease</i> <i>ABC transporter ATP-binding protein</i> <i>ABC transporter ATP-binding protein</i> <i>ABC transporter permease</i>	25,66 39,18 56,59 30,11 43,41 65,69 67,65
(32)	<i>Anabaena</i> sp. PCC7120	Factor sigma J; SigJ Similar to polysaccharide biosynthesis/export protein Dolichyl-phosphate-mannose synthase Mannose-6-phosphate isomerase Glucosyltransferase UDP-N-acetyl-D-mannoosamine transferase Similar to glucosyltransferase Putative glycosyl transferase Probable glycosyl transferase Probable glycosyl transferase Similar to polysaccharide export protein Similar to acetyltransferase Probable glycosyl transferase Probable glycosyl transferase Probable glycosyl transferase Probable polysaccharide biosynthesis protein Polysaccharide polymerization protein Probable glycosyl transferase Probable glycosyl transferase Probable glycosyl transferase Probable glycosyl transferase Probable polysaccharide biosynthesis protein Probable glycosyl transferase Similar to glucosyl-1'-phosphate transferase Glycosyltransferase Alg8 Dolichol-phosphate mannose transferase; Alg8 Probable glycosyltransferase; Alg8 1,2-diacylglycerol 3-beta-glucosyltransferase; Alg8 HlyD family of secretion protein; Alg44 Exopolysaccharide synthesis protein; ExoD	<i>alr0277 (sigJ)</i> <i>alr0290</i> <i>alr2290</i> <i>alr2770</i> <i>alr4342</i> <i>alr4420</i> <i>alr4422</i> <i>alr4719</i> <i>alr074</i> <i>alr3057</i> <i>alr5038</i> <i>alr5050</i> <i>alr3061</i> <i>alr5062</i> <i>alr3063</i> <i>alr3064</i> <i>alr3065</i> <i>alr3066</i> <i>alr5067</i> <i>alr5068</i> <i>alr3069</i> <i>alr3070</i> <i>alr3071</i> <i>alr5072</i> <i>alr3073</i> <i>alr4823</i> <i>alr5223</i> <i>slr1566</i> <i>slr004</i> <i>slr5056</i> <i>slr1377</i> <i>slr181</i> <i>slr1875 (exoD)</i> <i>slr0923 (cpsB)</i> <i>slr1581 (gumB)</i> <i>slr2115</i> <i>slr2111</i> <i>slr2122</i> <i>slr2107 (kpsM)</i> <i>slr2108</i>	*	*
(18)	<i>Synechocystis</i> PCC6803	Exopolysaccharide export protein; KpsE Polysaccharide biosynthesis/export protein; GumB/KpsD KpsC KpsF KpsL Polysialic acid transport protein; KpsM Polysialic acid transport ATP-binding protein; KpsT	<i>slr0923 (cpsB)</i> <i>slr1581 (gumB)</i> <i>slr2115</i> <i>slr2111</i> <i>slr2122</i> <i>slr0917 (kpsM)</i> <i>slr2108</i>	<i>all5222</i> <i>SLBB domain-containing protein</i> <i>Glycosyltransferase</i> <i>Glycosyltransferase</i> <i>Glycosyltransferase</i> <i>HlyD family efflux transporter periplasmic adaptor subunit</i> <i>Exopolysaccharide biosynthesis protein</i> <i>Polysaccharide biosynthesis tyrosine autokinase</i> <i>ABC transporter permease</i> <i>ABC transporter ATP-binding protein</i>	25,66 31,07 54,3 41,75 56,59 25,66 39,18
(33)	<i>Synechocystis</i> PCC6803				-

Tabla 2. Resultados de la revisión bibliográfica y la búsqueda de genes homólogos en *Anabaena* sp. PCC7120.

(33)	<i>Synechocystis</i> PCC6803	Wzy	<i>slr0737(wzy)</i>	-	<i>arl6290</i>	O-antigen ligase family protein	37,11	-
		Wzy	<i>slr0728</i>	<i>arl6290</i>	-	-	-	-
		Wzy	<i>slr0747</i>	<i>arl6290</i>	-	-	-	-
		Similar to polysaccharide biosynthesis protein; Wzx	<i>slr0747</i>	-	-	Lipopolysaccharide biosynthesis protein	28,51	-
		Cellulose synthase; XcsA	<i>slr0749</i>	<i>arl3072</i>	<i>arl3757</i>	Glycosyltransferase	28,07	-
		HyD-like protein; XcsB	<i>arl0007(xcsA)</i>	-	-	-	-	-
		Endo-1,4-beta-xylanase; XcsC	<i>arl9903(xcsB)</i>	-	-	TolC family protein	49,77	-
		Outer membrane factor; OMf family	<i>arl1605</i>	<i>arl2887</i>	<i>arl5068</i>	Low molecular weight phosphotyrosine protein phosphatase	81,76	-
		Protein tyrosine phosphatase	<i>Npmu_F1449</i>	<i>arl497</i>	<i>arl497</i>	Cyanoxosortase B	76,77	-
		Eight transmembrane protein EpsH	<i>Npmu_F1456</i>	<i>arl497</i>	<i>arl497</i>	Cyanoxosortase B system-associated protein	67,92	-
(3)	<i>Thermosynechococcus vulcanus</i>	Polysaccharide biosynthesis/export protein	<i>Npmu_F1457</i>	<i>arl495</i>	<i>arl495</i>	Polysaccharide biosynthesis/export family protein	72,38	-
		Lipopolysaccharide biosynthesis protein	<i>Npmu_F1458</i>	<i>arl495</i>	<i>arl493</i>	Polysaccharide biosynthesis tyrosine autokinase	73,59	-
		Lipopolysaccharide biosynthesis protein	<i>Npmu_F1459</i>	<i>arl493</i>	<i>arl2833</i>	Polysaccharide biosynthesis tyrosine autokinase	78,98	-
		Putative peptidoglycan lipid II hydrolase	<i>Npmu_R1070</i>	-	-	-	-	-
		Glycosyl transferase	<i>Npmu_F1368</i>	-	-	Glycosyltransferase	29,01	-
		Glycosyl transferase	<i>Npmu_F1369</i>	<i>arl3694</i>	<i>arl3694</i>	Glycosyltransferase	24,17	-
		O-antigen polymerase	<i>Npmu_F1370</i>	<i>arl3699</i>	-	-	-	-
		Glycosyl transferase	<i>Npmu_F1371</i>	-	-	Glycosyltransferase	26,12	-
		Glycosyl transferase	<i>Npmu_F1372</i>	<i>arl3699</i>	-	-	-	-
		Glycosyl transferase	<i>Npmu_F1374</i>	-	-	-	-	-
(3)	<i>Nostoc punctiforme</i>	UDP-glucuronate 4-epimerase	<i>Npmu_F1375</i>	-	-	-	-	-
		Glycosyl transferase	<i>Npmu_F1376</i>	<i>arl509</i>	<i>arl509</i>	GDP-mannose 4,6-dehydratase	34,72	-
		Methyltransferase	<i>Npmu_F1377</i>	<i>arl0919</i>	<i>arl0919</i>	Colanic acid biosynthesis glycosyltransferase	27,62	-
		Sugar transferase	<i>Npmu_F1378</i>	<i>arl5241</i>	<i>arl5241</i>	SAM-dependent methyltransferase	27	-
		Lipopolysaccharide biosynthesis protein	<i>Npmu_F1380</i>	<i>arl2285</i>	<i>arl2285</i>	Sugar transferase	39,39	-
		O-antigen polymerase	<i>Npmu_F1381</i>	<i>arl4428</i>	<i>arl4428</i>	Polysaccharide biosynthesis tyrosine autokinase	41,22	-
		Polysaccharide biosynthesis protein	<i>Npmu_R1492</i>	<i>arl4428</i>	<i>arl4428</i>	O-antigen ligase family protein	75,31	-
		Glycosyl transferase	<i>Npmu_R1494</i>	<i>arl4430</i>	<i>arl4430</i>	Flipase	82,27	-
		Lipopolysaccharide biosynthesis protein	<i>Npmu_R1495</i>	<i>arl4431</i>	<i>arl4431</i>	Glycosyltransferase	77,78	-
		Polysaccharide biosynthesis protein	<i>Npmu_R1496</i>	<i>arl4432</i>	<i>arl4432</i>	Polysaccharide biosynthesis tyrosine autokinase	77,95	-
(34)	<i>Anabaena</i> sp. PCC7120	Glycosyl transferase	<i>Npmu_F2442</i>	-	-	-	-	-
		Sugar transferase	<i>Npmu_F2444</i>	<i>arl5239</i>	<i>arl5239</i>	Glycosyltransferase	28,32	-
		Sugar transferase	<i>Npmu_F2445</i>	<i>arl4168</i>	<i>arl4168</i>	Glycosyltransferase	24,85	-
		Phytanoyl-CoA dioxygenase	<i>Npmu_F2447</i>	<i>arl829</i>	<i>arl829</i>	Sugar transferase	36,95	-
		Polysaccharide biosynthesis protein	<i>Npmu_F2449</i>	-	-	-	-	-
		Glycosyl transferase	<i>Npmu_F2451</i>	<i>arl5879</i>	<i>arl5879</i>	Cyanophycin synthetase	26,85	-
		Glycosyl transferase	<i>Npmu_R4850</i>	<i>arl2857</i>	<i>arl2857</i>	Lipopolysaccharide biosynthesis protein	39,81	-
		O-antigen polymerase	<i>Npmu_R4851</i>	<i>arl2856</i>	<i>arl2856</i>	Polysaccharide biosynthesis tyrosine autokinase	60,44	-
		Lipopolysaccharide biosynthesis protein	<i>Npmu_RS097</i>	<i>arl3690</i>	<i>arl3690</i>	O-antigen ligase family protein	62,73	-
		Polysaccharide biosynthesis protein	<i>Npmu_RS250</i>	<i>arl0059</i>	<i>arl0059</i>	Exopolysaccharide transport family protein	59,84	-
(34)	<i>Anabaena</i> sp. PCC7120	Glycosyl transferase	<i>Npmu_F5499</i>	-	-	-	-	-
		O-antigen polymerase	<i>Npmu_F5500</i>	<i>arl5194</i>	<i>arl5194</i>	Glycosyltransferase	29,75	-
		Glycosyl transferase	<i>Npmu_F5501</i>	<i>arl4428</i>	<i>arl4428</i>	O-antigen ligase family protein	31,48	-
		GDP-mannose 6-dehydrogenase	<i>Npmu_F5502</i>	<i>arl5202</i>	<i>arl5202</i>	Glycosyltransferase	26,9	-
		Glycosyl transferase	<i>Npmu_F5503</i>	<i>arl6658</i>	<i>arl6658</i>	UDP-glucose/GDP-mannose dehydrogenase family protein	35,71	-
(34)	<i>Anabaena</i> sp. PCC7120	Transcriptional regulator; Fis family	<i>Npmu_F5504</i>	<i>arl5194</i>	<i>arl5194</i>	Glycosyltransferase	22,92	-
		Genes Wza putativos	<i>Npmu_F5505</i>	<i>arl4432</i>	<i>arl4432</i>	Polysaccharide biosynthesis tyrosine autokinase	43,66	-
			<i>arl4388</i>	*	*	*	*	*
			<i>arl2294</i>	*	*	*	*	*
			<i>arl0495</i>	*	*	*	*	*

Tabla 2 (cont.). Resultados de la revisión bibliográfica y la búsqueda de genes homólogos.

		Anabaena sp. PCC7120									
		Genes Wzb putativos					Genes Wzc putativos				
		Genes Wzx putativos					Genes Wzy putativos				
		Genes KpsM putativos					Genes KpsF putativos				
		Genes KpsE putativos					Genes KpsD putativos				
		Genes PCP (polysaccharide copolimerase protein) putativos									
Genes Wzb putativos		<i>aln5068</i>	*	<i>aln5436</i>	*	<i>aln1067</i>	*	<i>aln5222</i>	*	<i>aln4432</i>	*
Genes Wzc putativos		<i>aln3059</i>	*	<i>aln2856</i>	*	<i>aln2833</i>	*	<i>aln3055</i>	*	<i>aln059</i>	*
Genes Wzx putativos		<i>aln4433</i>	*	<i>aln4430</i>	*	<i>aln3072</i>	*	<i>aln3065</i>	*	<i>aln2857</i>	*
Genes Wzy putativos		<i>aln2290</i>	*	<i>aln5073</i>	*	<i>aln4428</i>	*	<i>aln5690</i>	*	<i>aln5060</i>	*
Genes KpsM putativos		<i>aln2861</i>	*	<i>aln4485</i>	*	<i>aln4219</i>	*	<i>aln2373</i>	*	<i>aln1500</i>	*
Genes KpsF putativos		<i>aln1491</i>	*	<i>aln0076</i>	*	<i>aln7196</i>	*	<i>aln0917</i>	*	<i>aln3464</i>	*
Genes KpsE putativos		<i>aln2432</i>	*	<i>aln5222</i>	*	<i>aln4432</i>	*	<i>aln3059</i>	*	<i>aln2856</i>	*
Genes KpsD putativos		<i>aln2833</i>	*	<i>aln0059</i>	*	<i>aln4388</i>	*	<i>aln2294</i>	*	<i>aln0495</i>	*
Genes PCP (polysaccharide copolimerase protein) putativos		<i>aln5222</i>	*	<i>aln4432</i>	*	<i>aln3059</i>	*	<i>aln2836</i>	*	<i>aln2833</i>	*
		<i>aln0059</i>	*	<i>aln0493</i>	*						

**Tabla 2** (cont.). Resultados de la revisión bibliográfica y la búsqueda de genes homólogos.

## 5.2. Análisis bioinformático de la presencia de cajas FUR en regiones promotoras de genes potencialmente implicados en la formación de biofilms en *Anabaena sp.* PCC7120

Una vez identificados los genes potencialmente implicados en la formación de biofilms en *Anabaena sp.* PCC7120, se analizó si formaban parte de operones utilizando la información disponible en MicrobesOnline (<http://www.microbesonline.org/>). Así, se encontraron nuevos genes potencialmente implicados en la formación de biofilms que formaban operones con los previamente identificados y que por tanto se regularían conjuntamente. Con ello, se identificaron un total de 108 genes que podrían participar en la formación de biofilms en *Anabaena sp.* PCC7120.

Además, se llevó a cabo un cribado para eliminar genes cuyo estudio no resultase interesante. Parte de los genes identificados habían sido detectados por homología a partir de genes de bacterias alejadas evolutivamente de las cianobacterias, de modo que algunos de ellos tenían funciones no relacionadas con la formación de biofilms en *Anabaena sp.* PCC7120. Así, se eliminó del estudio el gen *alr2887*, perteneciente a un operón (*alr2884-alr2940*) codificante de proteínas relacionadas con el control de los ritmos circadianos, y el gen *alr3699*, perteneciente también a un operón relacionado en este caso con la formación del heterocisto (*alr3698-alr3701*). También se eliminaron los genes *alr1105* y *alr5241*, que codifican una arsenato reductasa y una metiltransferasa, respectivamente, y que no resultan por tanto de interés en el estudio realizado. No obstante, si que se conservó en el estudio el gen *alr0267*, pues aunque se trata de un gen implicado en la formación del heterocisto, se sospecha que está también involucrado en la formación de biofilms (35).

Tras la identificación de unidades transcripcionales implicadas en la formación de biofilms se llevó a cabo la búsqueda de cajas FUR en las regiones promotoras de las mismas. Para ello, se tomó la región intergénica previa a cada unidad transcripcional. No obstante, estudios previos han mostrado que las cajas FUR pueden aparecer dentro de las secuencias codificantes del gen de interés o del gen previo a dicha región intergénica (36). Por ello, junto con la región intergénica, se tomó un fragmento de secuencia codificante de 65 nucleótidos, tanto del gen de interés como del gen previo a la región intergénica de estudio.

En el caso de las cajas detectadas en las regiones intergénicas de genes divergentes (con sentidos de lectura opuestos), hay que tener en cuenta que la región promotora de ambos genes se localiza en la misma región intergénica, de modo que una caja localizada más cerca del gen anterior que del gen de interés podría regular al primero de los genes, en lugar de al segundo. Por ello, en estos casos, las regiones intergénicas se dividieron en tres segmentos de igual longitud y se consideró que el segmento más cercano a cada uno de los genes regulaba a dicho gen, mientras que el segmento central se consideró que podría regular ambos. Por tanto, en el caso de los genes divergentes, se aceptaron como posibles cajas FUR aquellas cajas localizadas en los dos tercios de región intergénica más próximos al gen de estudio, y se rechazaron las que aparecían en el tercio de región intergénica más alejado de la unidad transcripcional de estudio.

El resultado de la búsqueda de cajas FUR, así como el p-valor de cada predicción, se adjuntan en la Tabla 3. Las secuencias intergénicas en las que se detectaron cajas FUR aparecen indicadas en la sección 8.4 de Material Suplementario.

Operón	Gen	Anotación	Caja FurA			Caja FurB		
			Secuencia caja	p-valor	Secuencia caja	p-valor	Secuencia caja	p-valor
<i>alr0042</i>	<b>Glycosyltransferase</b>		ACTGGTGAAGATTACCT	3.57e-05				
<i>alr0059</i>	<b>Exopolysaccharide transport family protein</b>		ATACAAATTCAGATAT	4.81e-05	TCAGATAATTTCAATTAAAC	1.93e-05		
<i>alr0267</i>	<b>Heterocyst-specific attachment factor; HesF</b>		TATTAAAATTGCTGAYAT	5.57e-05				
<i>alr0277</i>	<b>Sigma factor; SigJ</b>				GTTATCAGGAATAAAATTATACAG	4.81e-05		
<i>alr0492-</i>	<i>alr0492</i> Glycerol-3-phosphate acyltransferase							
<i>alr0492</i>	<b>Polysaccharide biosynthesis protein</b>							
<i>alr0495</i>	<b>Polysaccharide biosynthesis/export family protein</b>							
<i>alr0496</i>	<b>Cyanoexosortase B system-associated protein</b>							
<i>alr0497</i>	<b>Cyanoexosortase B</b>							
<i>alr0657-</i>	<i>alr0657</i> RfbB; UDP-glucuronate decarboxylase							
<i>alr0658</i>	<b>UDP-glucose 6-dehydrogenase</b>							
<i>alr0776</i>	<b>Glycosyltransferase</b>							
<i>alr0917-</i>	<i>alr0916</i> Lipopolysaccharide transport system ATP-binding protein							
<i>alr0916</i>	<b>Lipopolysaccharide transport system permease protein</b>							
<i>alr0917</i>	<b>Lipopolysaccharide transport system permease protein</b>							
<i>alr0919</i>	<b>Cellobiose 6-dehydrogenase</b>							
<i>alr0919</i>	<b>Glycosyltransferase</b>							
<i>alr0919-</i>	<i>alr0917-</i> Lipopolysaccharide transport system ATP-binding protein							
<i>alr0916</i>	<b>Lipopolysaccharide transport system permease protein</b>							
<i>alr0917</i>	<b>Lipopolysaccharide transport system permease protein</b>							
<i>alr0919</i>	<b>Cellobiose 6-dehydrogenase</b>							
<i>alr1490-</i>	<i>alr1490</i> ABC transporter ATP-binding component							
<i>alr1491</i>	<b>ABC transporter permease</b>							
<i>alr1491</i>	<b>ABC transporter permease</b>							
<i>alr2282</i>	Anti-sigma factor antagonist							
<i>alr2284</i>	Sigma-B activity negative regulator							
<i>alr2285</i>	<b>Sugar transferase</b>							
<i>alr2286</i>	Glucosyltransferase							
<i>alr2287</i>	Glucosyltransferase							
<i>alr2288</i>	Glucosyltransferase							
<i>alr2289</i>	Glucosyltransferase							
<i>alr2290</i>	<b>Similar to polysaccharide biosynthesis export protein</b>							
<i>alr2291</i>	Glycosyltransferase							
<i>alr2292</i>	Probable glycosyltransferase							
<i>alr2293</i>	Polysaccharide pyruvyl transferase							
<i>alr2294</i>	<b>Polysaccharide export outer membrane protein</b>							
<i>alr2294-</i>	<i>alr2294</i> GumC family protein							
<i>alr2296</i>	Capsular polysaccharide biosynthesis protein							
<i>alr2372-</i>	<i>alr2372</i> ABC transporter ATP-binding protein							
<i>alr2374</i>	<b>ABC-type transport system permease protein</b>							
<i>alr2374</i>	Unknown protein							

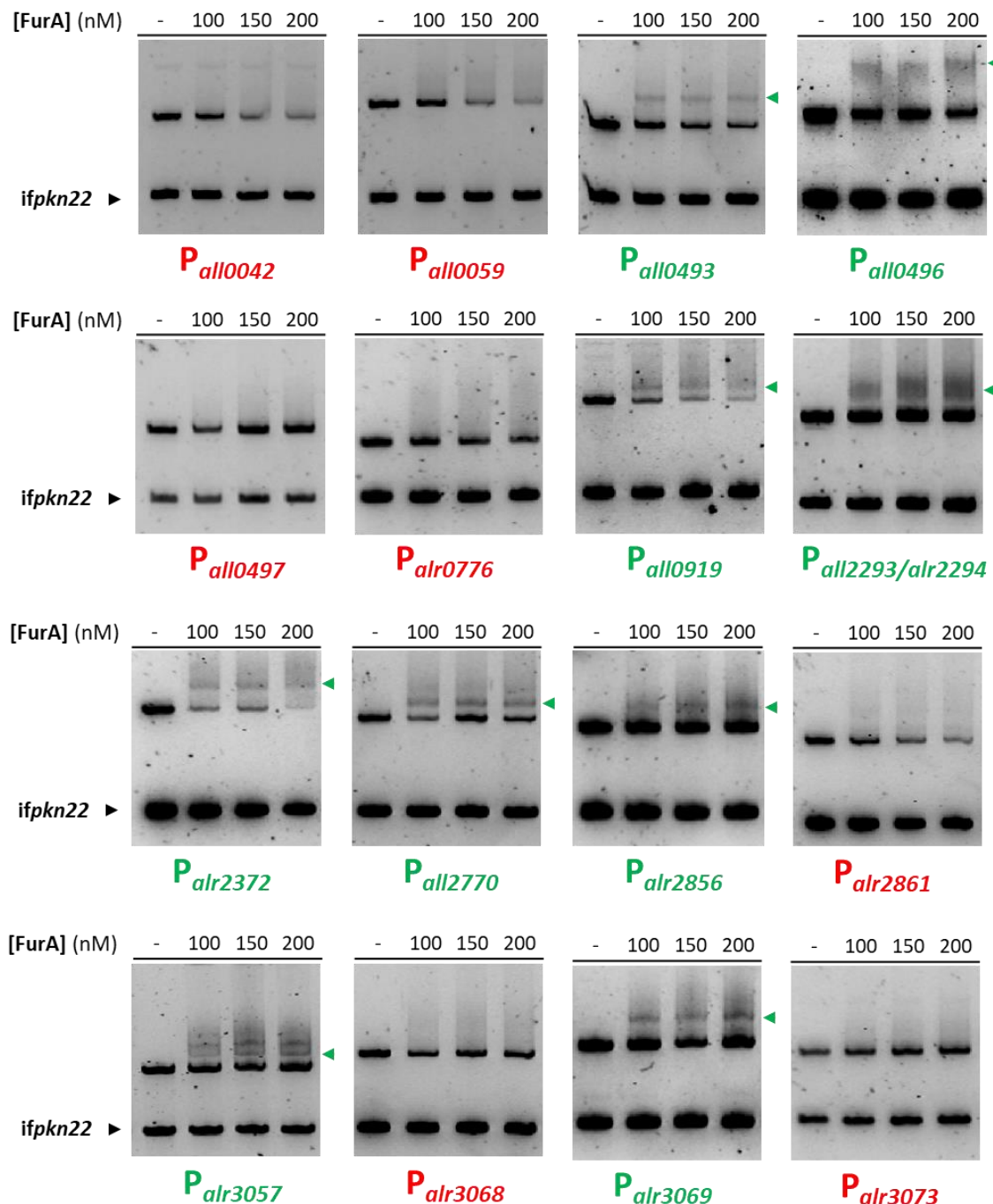
**Tabla 3.** Resultado de la búsqueda de cajas FUR en los genes identificados en la revisión bibliográfica y la búsqueda bioinformática. Los genes indicados en negrita son los genes identificados en la búsqueda bibliográfica, mientras que el resto son los detectados en el estudio de operones. En la fila correspondiente a cada unidad transcripcional se indican las secuencias de las caja FUR predichas, así como el p-valor de la predicción.

<i>alr2770</i>	<b><i>alr2770</i></b> Dolichol-phosphate-mannose synthase	AGAAAAATATTGAAAGATT	4.79e-05	TCTGACAAACATTAAATTTCATAAATT	4.1e-05
<i>alr2832</i>	Putative glycosyltransferase				
<i>alr2833</i>	<b>Polysaccharide biosynthesis tyrosine autokinase</b>	AGATATAATGAGAAATTTTTA	1.04e-05		
<i>alr2856</i>	<b>Polysaccharide biosynthesis tyrosine autokinase</b>	AAGAAAATATTTCATGATT	9.73e-05		
<i>alr2861</i>	Unknown protein	ACATCATCAAGAATAAAAGC	8.64e-05		
<i>alr3057</i>	Probable glycosyl transferase				
<i>alr3058</i>	Probable glycosyl transferase				
<i>alr3059</i>	Similar to polysaccharide export protein				
<i>alr3060</i>	O-antigen ligase				
<i>alr3061</i>	Similar to acetyltransferase	ATTCAAAATAAACATTCCTTAAATTTC	6.33e-05		
<i>alr3068</i>	Probable glycosyl transferase	ATTTAAATGAGATTTATTA	1.23e-07		
<i>alr3069</i>	Probable glycosyl transferase	TTTACTATTGGATAAAAT	9.89e-05	AGAAATTACTAAATGATCATCATC	3.21e-05
<i>alr3070</i>	Probable glycosyl transferase				
<i>alr3071</i>	Probable glycosyl transferase				
<i>alr3073</i>	Probable glycosyl transferase	AAATAAAATATGCCCTAAAT	8.7e-05		
<i>alr3074</i>	UDP-3-O-[3-hydroxyxymristoyl] glucosamine N-acetyltransferase				
<i>alr3464</i>	<b>Glutamine-fructose-6-phosphate-aminotransferase</b>	ACATCATGA GAAAATTAYA	5.71e-05	CAACATCATGAGAAAATTAA	3.76e-05
<i>alr3509</i>	<b>GDP-mannose 4,6-dehydratase</b>	ATTTCCTCAAGAAATCAAAT	7.94e-05	ATTAGAAATAATTGTTCTTAAATA	4.71e-05
<i>alr3756</i>	Unknown protein			CAAAGTCACGATCACCTGTG	4.91e-05
<i>alr3757</i>	<b>Glycosyltransferase</b>				
<i>alr4219</i>	<b>ABC transporter ATP-binding component</b>	AAGTCACATCTCAAAAGC	4.92e-05		
<i>alr4239</i>	Toxin secretion ABC transporter ATP-binding protein	AGTAAAAAACCTTCCTAAAGC	7.71e-06		
<i>alr4240</i>	<b>HlyD family efflux transporter periplasmic adaptor subunit</b>			TATAGTCAGATTAAATGT	1.93e-05
<i>alr4388</i>	<b>Polysaccharide biosynthesis/export protein</b>				
<i>alr4422</i>	<b>UDP-N-acetyl-D-mannosamine transferase</b>				
<i>alr4423</i>	Glycosyltransferase				
<i>alr4426-</i>					
<i>alr4422</i>	Probable glucosyltransferase				
<i>alr4425</i>	Unknown protein				
<i>alr4426</i>	Probable glucosyltransferase	TGAAATATTACAAAAACC	6.84e-05		
<i>alr4428</i>	<b>O-antigen ligase family protein</b>	TATAAAAGTTGTATATAT	3.95e-05		
<i>alr4429</i>	Sugar transferase				
<i>alr4430</i>	Flipase				
<i>alr4431</i>	Glycosyltransferase				
<i>alr4432</i>	Polysaccharide biosynthesis tyrosine autokinase				
<i>alr4485</i>	<b>ABC transporter permease</b>	TGATAAAATCTTGCTGATAT	1.84e-05		
<i>alr4486</i>	<b>ABC transporter ATP-binding protein</b>				
<i>alr4487</i>	Glycosyl transferase involved in cell wall biogenesis				
<i>alr4488</i>	O-antigen biosynthesis protein				
<i>alr5073</i>	<b>Putative inorganic carbon transporter</b>	ATTTCATGAAATAATTCTAT	1.73e-05		
<i>alr5222</i>	<b>Polysaccharide biosynthesis tyrosine autokinase</b>	ATAAAGGTATAATTATT	2.93e-05	TATACTTAGAATCATTTAAACTTTA	2.59e-05
<i>alr5223</i>	<b>Glycosyltransferase</b>	TCATAAAACCAGATTAAAT	7.57e-05	CATTITATTATCATGATTATT	3.05e-05
<i>alr7196</i>	<b>Two-component response regulator</b>	ACTTATGGAGATTAAAT	2.62e-05		

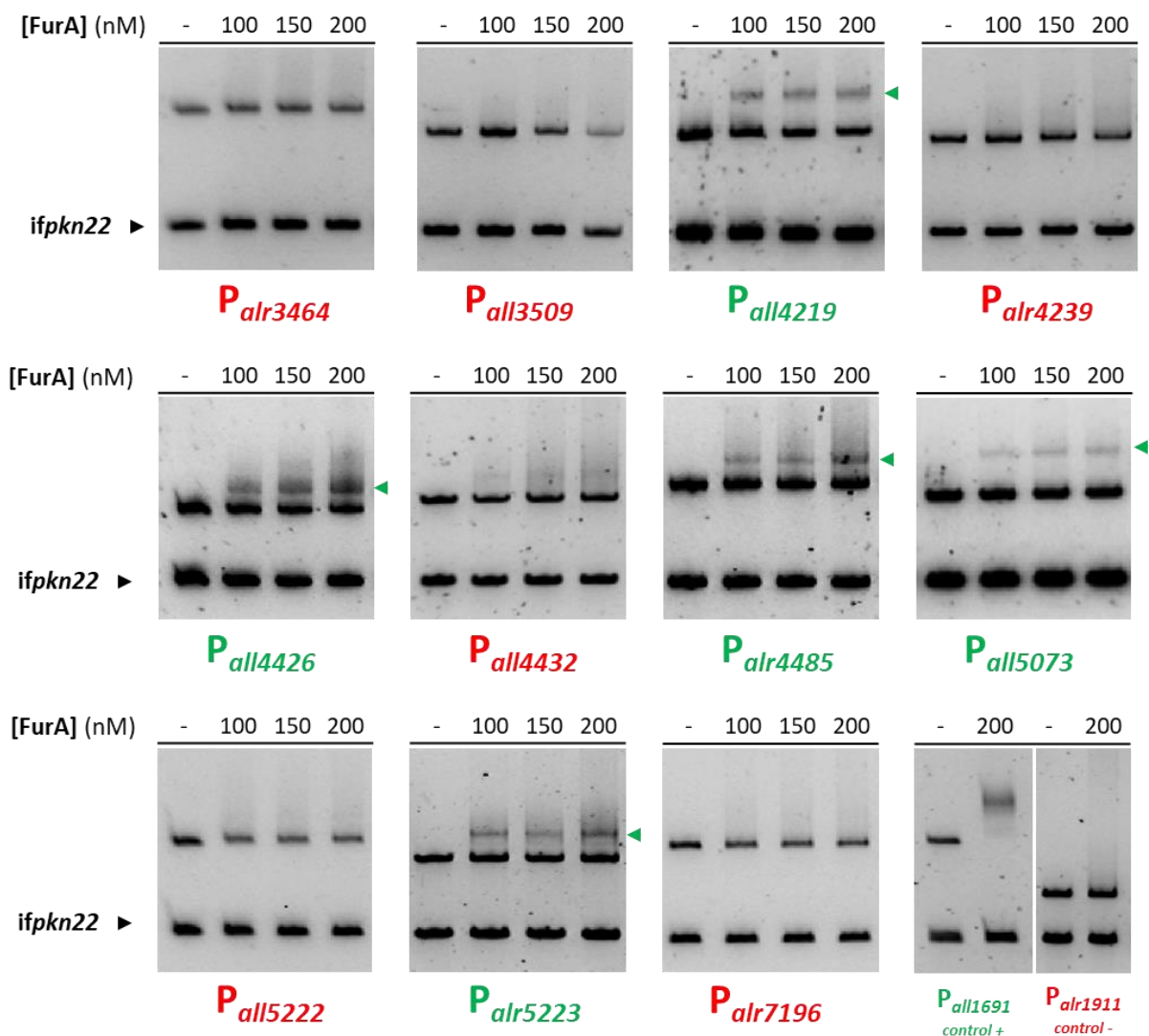
**Tabla 3** (cont.). Resultado de la búsqueda de cajas FUR en los genes identificados en la revisión bibliográfica y la búsqueda bioinformática.

### 5.3. Estudio de la modulación de genes potencialmente implicados en la formación de biofilms en *Anabaena* sp. PCC7120 por las proteínas FUR

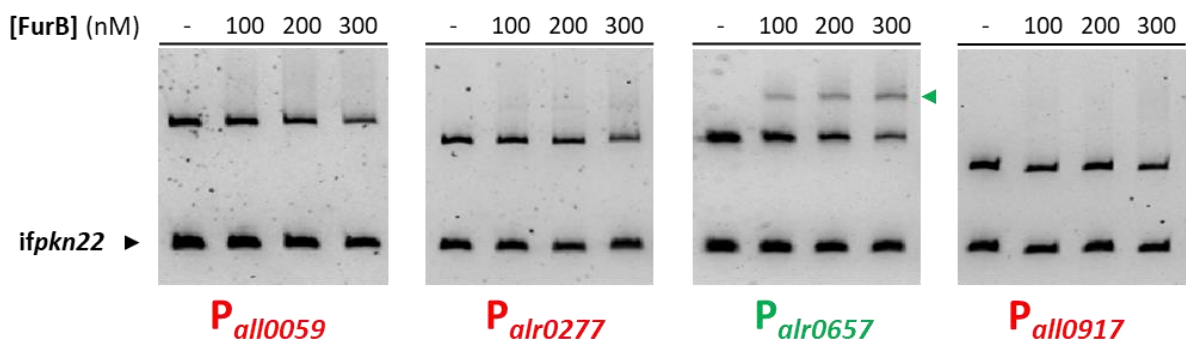
Tras localizar las posibles cajas FUR en las regiones promotoras de los genes de estudio, se analizó la unión del correspondiente parálogo FUR a ellas mediante ensayos de retardo en gel (EMSA). Los resultados de estos ensayos se recogen en las Figuras 2, 3 y 4.



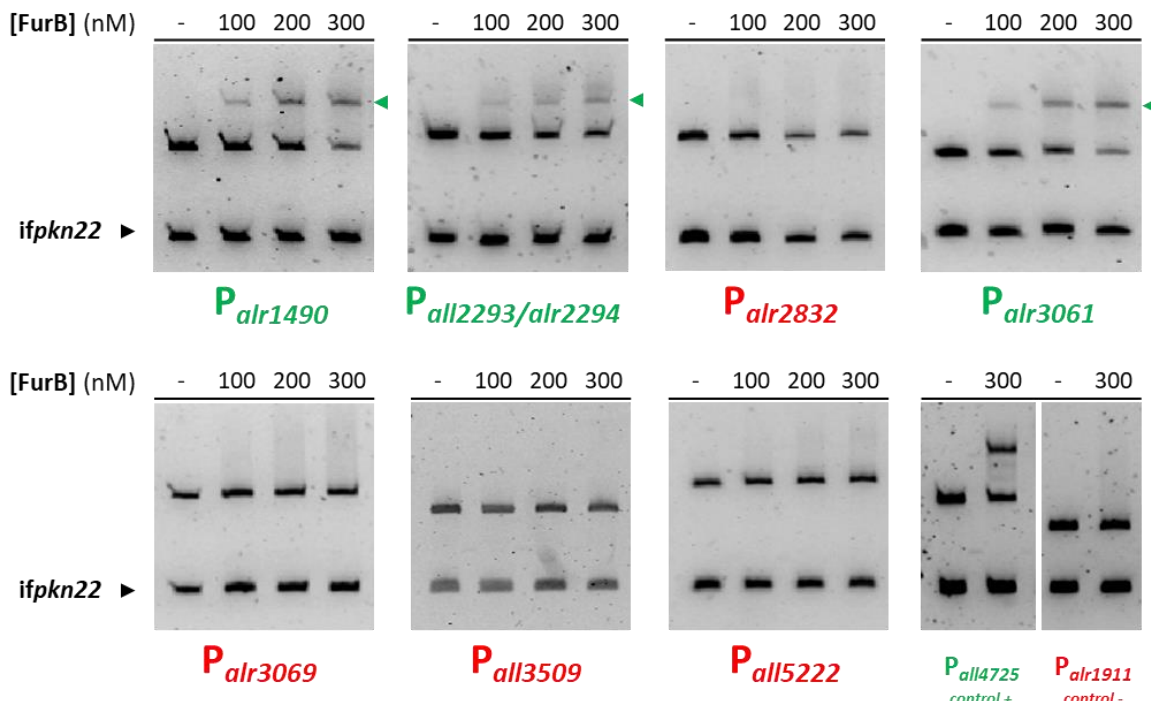
**Figura 2.** Resultados de los ensayos de retardo en gel con FurA. Los promotores en los que se produjo unión aparecen marcados en verde y el complejo aparece señalado con una flecha en la parte derecha, mientras que los promotores con los que no se ha detectó unión aparecen marcados en rojo. En la parte superior de cada gel se indican las concentraciones de proteína y en el lateral izquierdo se indica la posición de la banda correspondiente con el DNA inespecífico. Como control positivo se empleó el promotor del gen *all1691* (*furA*) (26) y como control negativo el promotor del gen *alr1911* (*nifJ*) (26).



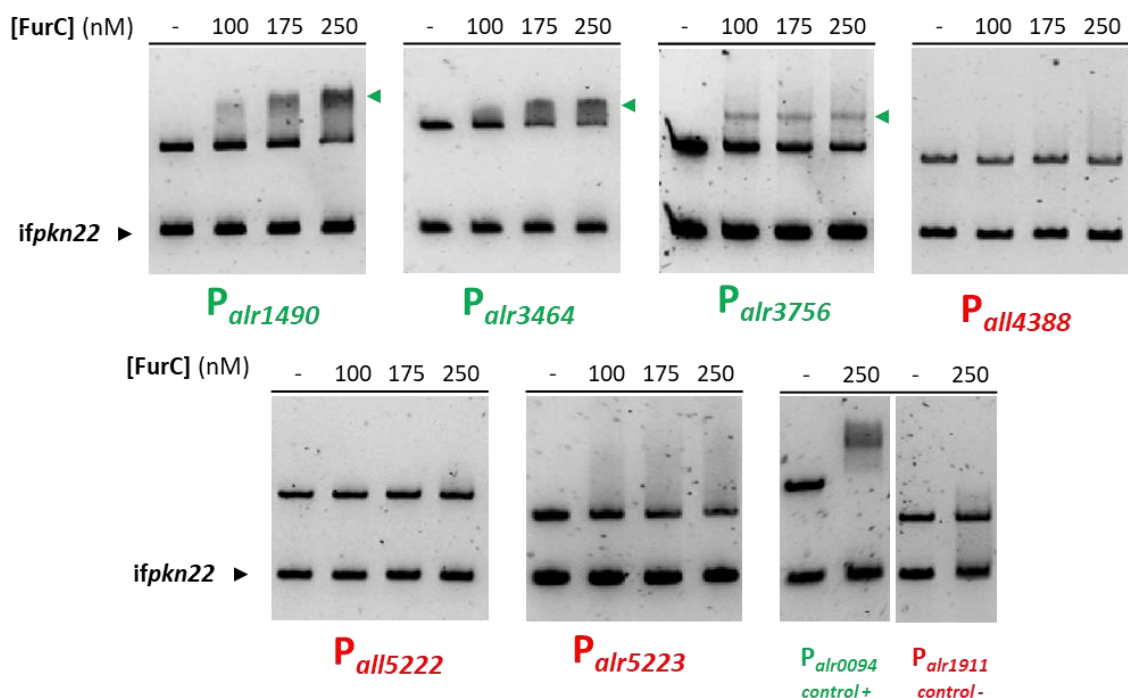
**Figura 2** (cont.). Resultados de los ensayos de retardo en gel con FurA.



**Figura 3.** Resultados de los ensayos de retardo en gel con FurB. Los promotores en los que se produjo unión aparecen marcados en verde y el complejo aparece señalado con una flecha en la parte derecha, mientras que los promotores con los que no se ha detectó unión aparecen marcados en rojo. En la parte superior de cada gel se indican las concentraciones de proteína y en el lateral izquierdo se indica la posición de la banda correspondiente con el DNA inespecífico. Como control positivo se empleó el promotor del gen *all4725* (27) y como control negativo el promotor del gen *alr1911* (*nifJ*) (26).



**Figura 3** (cont.). Resultados de los ensayos de retardo en gel con FurB.



**Figura 4.** Resultados de los ensayos de retardo en gel con FurC. Los promotores en los que se produjo unión aparecen marcados en verde y el complejo aparece señalado con una flecha en la parte derecha, mientras que los promotores con los que no se ha detectó unión aparecen marcados en rojo. En la parte superior de cada gel se indican las concentraciones de proteína y en el lateral izquierdo se indica la posición de la banda correspondiente con el DNA inespecífico. Como control positivo se empleó el promotor del gen *alr0094* (*hetZ*) (29) y como control negativo el promotor del gen *alr1911* (*nifJ*) (26).

Como se observa en las Figuras 2, 3 y 4, FurA se unió a 14 de los 27 promotores ensayados, FurB a 4 de los 11 promotores ensayados y FurC a 3 de los 6 promotores ensayados.

Dado que varios de estos promotores regulan la expresión de operones, estos resultados han permitido identificar un total de 54 genes implicados en la síntesis de biofilms en *Anabaena sp.* PCC7120 directamente regulados por las proteínas FUR. Para profundizar en la función que desempeñan se integró la información depositada sobre los mismos en las bases de datos y la procedente de los estudios de homología, considerando que la función de la proteína de la cianobacteria y de la de su homóloga son la misma cuando su identidad es superior al 30 % (37). Los genes implicados en la síntesis de biofilms directamente regulados por las proteínas FUR junto con la función desempeñada por los mismos se recoge en la Tabla 4.

Unidad transcripcional	Gen	Proteína codificada	Resultado EMSA		
			FurA	FurB	FurC
<i>all0493-all0492</i>	<i>all0492</i>	Glicerol-3-fosfato aciltransferasa	+		
	<i>all0493</i>	Wzc putativa/polisacárido copolimerasa putativa	+		
<i>all0496-all0495</i>	<i>all0495</i>	Wza putativa/KpsD putativa	+		
	<i>all0496</i>	Proteína asociada al sistema de la cianoexosortasa	+		
<i>alr0657-alr0658</i>	<i>alr0657</i>	RfbB; UDP-glucuronato descarboxilasa		+	
	<i>alr0658</i>	GDP-manosa-6-deshidrogenasa		+	
<i>all0919</i>	<i>all0919</i>	Glicosiltransferasa de síntesis de ácido colánico	+		
<i>alr1490-alr1491</i>	<i>alr1490</i>	KpsT putativa		+	+
	<i>alr1491</i>	KpsM putativa		+	+
<i>all2293-all2283</i>	<i>all2283</i>	Agonista del factor anti sigma	+	+	
	<i>all2284</i>	Regulador negativo del factor sigma B	+	+	
	<i>all2285</i>	Glicosiltransferasa	+	+	
	<i>all2286</i>	Glicosiltransferasa	+	+	
	<i>all2287</i>	Glicosiltransferasa	+	+	
	<i>all2288</i>	Glicosiltransferasa	+	+	
	<i>all2289</i>	Glicosiltransferasa	+	+	
	<i>all2290</i>	Wzx putativa	+	+	
	<i>all2291</i>	Glicosiltransferasa	+	+	
	<i>all2292</i>	Probable glicosiltransferasa	+	+	
	<i>all2293</i>	Piruvil transferasa	+	+	
<i>alr2294-alr2296</i>	<i>alr2294</i>	Wza putativa/KpsD putativa	+	+	
	<i>alr2295</i>	GumC; proteína de síntesis de lipopolisacáridos	+	+	
	<i>alr2296</i>	Proteína de síntesis de polisacáridos capsulares	+	+	
<i>alr2372-alr2374</i>	<i>alr2372</i>	KpsT putativa	+		
	<i>alr2373</i>	KpsM putativa	+		
	<i>alr2374</i>	Proteína desconocida	+		
<i>all2770</i>	<i>all2770</i>	Dolicol-fosfato-manosa sintasa	+		
<i>alr2856</i>	<i>alr2856</i>	Wzc putativa/KpsE putativa/polisacárido copolimerasa putativa	+		
<i>alr3057-alr3060</i>	<i>alr3057</i>	Probable glicosiltransferasa	+		
	<i>alr3058</i>	Probable glicosiltransferasa	+		
	<i>alr3059</i>	Wzc putativa/KpsE putativa/polisacárido copolimerasa putativa	+		
	<i>alr3060</i>	Wzy putativa	+		
<i>alr3061</i>	<i>alr3061</i>	Acetiltransferasa		+	
<i>alr3069-alr3071</i>	<i>alr3069</i>	Probable glicosiltransferasa	+		
	<i>alr3070</i>	Probable glicosiltransferasa	+		
	<i>alr3071</i>	Probable glicosiltransferasa	+		
<i>alr3464</i>	<i>alr3464</i>	KpsF putativa			+
<i>alr3756-alr3757</i>	<i>alr3756</i>	Proteína desconocida			+
	<i>alr3757</i>	Glicosiltransferasa			+
<i>all4219</i>	<i>all4219</i>	KpsM putativa	+		
<i>alr4239-alr4240</i>	<i>alr4239</i>	KpsT putativa	+		
	<i>alr4240</i>	Alg44	+		
<i>all4388</i>	<i>all4388</i>	Wza putativa/KpsD putativa			+
<i>all4426-all4422</i>	<i>all4422</i>	UDP-N-acetyl-D-manosamina transferasa	+		
	<i>all4423</i>	Glicosiltransferasa	+		
	<i>all4424</i>	Probable glicosiltransferasa	+		
	<i>all4425</i>	Proteína desconocida	+		
	<i>all4426</i>	Probable glicosiltransferasa	+		
<i>alr4485-alr4488</i>	<i>alr4485</i>	KpsM putativa	+		
	<i>alr4486</i>	KpsT putativa	+		
	<i>alr4487</i>	Glicosiltransferasa implicada en la síntesis de la pared celular	+		
	<i>alr4488</i>	Proteína de biosíntesis del antígeno-O	+		
<i>all5073</i>	<i>all5073</i>	Wzy putativa	+		
<i>alr5223</i>	<i>alr5223</i>	Glicosiltransferasa	+		

**Tabla 4.** Recopilación de las funciones desempeñadas por los genes potencialmente implicados en formación de biofilms regulados por las proteínas FUR.

Como se observa en la Tabla 4, el operón *all0493-all0492* está regulado por FurA. El gen *all0492* codifica una glicerol-3-fosfato aciltransferasa, según KEGG, mientras que *all0493*, según los estudios de homología, codifica una polisacárido copolimerasa o una proteína Wzc (34). También está regulado por FurA el operón constituido por *all0495* y *all0496*. El primero de los genes, según los estudios de homología, codifica una proteína Wza o una proteína KpsD (34). En MicrobesOnline, sin embargo, aparece anotado como un gen codificante de una proteína Wza, de modo que es más probable que tenga esta función y forme parte de un sistema de síntesis de EPS Wzy dependiente. Respecto a *all0496*, en el NCBI se describe como una proteína asociada al sistema de la cianoexosortasa, que como se ha descrito anteriormente participa en el anclaje de proteínas a la membrana plasmática. Por su parte, el operón *alr0657-alr0658* está regulado por FurB. El gen *alr0657* se anota en KEGG como un gen codificante de una proteína RfbB, una UDP-glucuronato descaboxilasa, mientras que *alr0658* se describe en la misma base de datos como un gen codificante de una UDP-glucosa 6-deshidrogenasa. Se trataría, por tanto, de proteínas implicadas en la modificación de los residuos glucídicos de los EPS.

El gen *all0919* está regulado por FurA. En el NCBI se describe como un gen codificante de una glicosiltransferasa implicada en la síntesis de ácido colánico, un polímero de la cápsula de algunas bacterias (38). En cuanto al operón *alr1490-alr1491*, la regulación se da tanto por parte de FurB como de FurC. El gen *alr1490*, según KEGG, codifica la proteína de unión a ATP de un sistema de transporte de tipo ABC, mientras que *alr1491*, según los estudios de homología, codifica una proteína KpsM. Dado que las proteínas KpsT de los sistemas de transporte de tipo ABC se describen como proteínas de unión a ATP (39), es posible que el gen *alr1490* codifique para una proteína KpsT y por tanto el operón *alr1490-alr1491* codifique para las proteínas del transportador de tipo ABC de un sistema de síntesis de EPS dependiente de transportador ABC.

Por otra parte, FurA y FurB regulan el operón *all2293-all2283*, entre cuyos genes hay varias glicosiltransferasas, según la información disponible en KEGG y MicrobesOnline (*all2285*, *all2286*, *all2287*, *all2288*, *all2289*, *all2291*, *all2292* y *all2293*). Además, también forma parte de este operón el gen *all2290* que, según los estudios de homología, codifica para la proteína Wzx de un sistema de síntesis de EPS Wzy dependiente (34), y los genes *all2283* y *all2284*, que codifican un agonista de un factor anti-sigma y un regulador negativo de sigma B. Los factores sigma permiten la unión de la RNA polimerasa al DNA para su transcripción, y en el caso de los factores sigma B se ha observado que participan en la regulación de la formación de biofilms en numerosas bacterias (40). Por tanto, este operón podría codificar para proteínas implicadas en síntesis y regulación de la formación de biofilms.

En lo que respecta al operón *alr2294-alr2296*, está regulado tanto por FurA como por FurB. Según los estudios de homología, *alr2294* codifica una proteína Wza o una proteína KpsD(34). Sin embargo, en MicrobesOnline el gen se describe como codificante de una proteína Wza, de modo que es más probable que tenga esta función y el gen codifique una proteína de un sistema de síntesis de EPS Wzy dependiente. Por otra parte, según MicrobesOnline, *alr2295* codifica una proteína GumC en la síntesis de lipopolisacáridos, mientras que *alr2296* se describe en el NCBI como un gen codificante de una proteína implicada en la síntesis de polisacáridos capsulares. Respecto al operón *alr2372-alr2374*, está regulado por FurA. Según MicrobesOnline, *alr2372* es la proteína de unión a ATP de un transportador de tipo ABC que posiblemente, como se ha explicado previamente, sea una proteína KpsT, mientras que *alr2373*, según los estudios de homología, es una proteína KpsM. Para el tercero de los genes del operón no hay ninguna función descrita, pero dado que los dos primeros genes codifican el transportador de tipo ABC de un

sistema de síntesis de EPS dependiente de transportador de tipo ABC este gen podría codificar para un gen con alguna función relacionada con este sistema.

Los genes *all2770* y *alr2856* están regulados FurA. Según KEGG, *all2770* codifica una dolicol-fosfato-manosa sintasa mientras que *alr2856*, según los estudios de homología, puede ser una proteína Wzc, una proteína KpsE o una polisacárido copolimerasa (34). En el NCBI, sin embargo, se describe como una tirosina autoquinasa, de modo que probablemente se trate de una proteína Wzc de un sistema de síntesis de EPS Wzy dependiente. También está regulado por FurA el operón *alr3057-alr3060*. En este caso, *alr3057* y *alr3058* aparecen anotados en MicrobesOnline como genes codificantes de glicosiltransferasas, mientras que *alr3059*, según los estudios de homología, puede ser una proteína Wza, una proteína KpsE o una polisacárido copolimerasa (34). En lo que respecta a *alr3060*, según los estudios de homología, codifica una proteína Wzx perteneciente a un sistema de síntesis de EPS Wzy dependiente (34). Por su parte, el gen *alr3061* está regulado por FurB y, según KEGG, codifica una acetiltransferasa, de modo que en este caso se trataría de una enzima relacionada con la producción de EPS que dotasen a los biofilms de un carácter hidrófobo.

Otro operón regulado por FurA es el *alr3069-alr3071*. Según MicrobesOnline, los tres genes del operón codifican posibles glicosiltransferasas. También se relaciona con la formación de biofilms el gen *alr3464*, regulado por FurC y codificante, según los estudios de homología, de una proteína KpsF (34) implicada en la síntesis del *carrier* al que se unen los polisacáridos en un sistema de síntesis de EPS dependiente de transportador de tipo ABC. FurC puede regular también la expresión del operón *alr3756-alr3757*. La función de *alr3756* es desconocida, pero *alr3757* codifica una glicosiltransferasa, por lo que el operón podría codificar también proteínas implicadas en la formación de biofilms.

El gen *all4219* está regulado por FurA y según los estudios de homología codifica una proteína KpsM (34), una proteína perteneciente a un sistema de síntesis de EPS dependiente de transportador de tipo ABC. También está regulado por FurA el operón *alr4239-alr4240*. En el caso de *alr4239*, según KEGG, codifica la proteína de unión a ATP de un sistema de transporte de tipo ABC que posiblemente, como se ha explicado para los casos anteriores, sea una proteína KpsT, mientras que *alr4240* codifica una proteína Alg44 perteneciente al sistema de síntesis de EPS dependiente de sintasa (18). Otro gen regulado por las proteínas FUR, en concreto por FurC, es *all4388*. Según los estudios de homología, el gen codifica una proteína Wza o una proteína KpsD (34), pero dado que en MicrobesOnline aparece anotado como codificante de una proteína Wza, tendrá más probablemente esta función y codificará un componente de un sistema de síntesis de EPS Wzy dependiente.

FurA también regula la expresión del operón *all4426-all4422*. Salvo *all4425*, cuya función es desconocida, el resto de genes del operón codifican glicosiltransferasas, según la información depositada en KEGG. Por otra parte, el operón *alr4485-alr4488* está regulado también por FurA. Según los estudios de homología, *alr4485* y *alr4486* codifican, respectivamente, una proteína KpsM y una proteína KpsT (34), de modo que constituirían el transportador ABC de un sistema de síntesis de EPS dependiente de transportador de tipo ABC. Respecto a *alr4487* y *alr4488*, según la información obtenida de KEGG y MicrobesOnline, codifican una glicosiltransferasa y una proteína implicada en la síntesis del antígeno-O. Finalmente, FurA regula la expresión de *alr5073* y *alr5223*, genes independientes. El gen *alr5073*, según los estudios de homología, codifica la proteína Wzy de un sistema de síntesis de EPS Wzy dependiente (34), mientras que *alr5223*, según KEGG, codifica una glicosiltransferasa.

#### 5.4. Discusión global y perspectivas futuras

Dado que las proteínas FUR juegan un papel central en la respuesta a estreses en cianobacterias y que los biofilms se sintetizan en muchas ocasiones en respuesta a estos estreses, podría esperarse que las proteínas FUR actuasen regulando la formación de los mismos. Por ello, se abre la puerta al estudio del papel que juegan las proteínas FUR en la regulación de la formación de biofilms en *Anabaena sp.* PCC7120.

Estudios previos desarrollados con estirpes de sobreexpresión de proteínas FUR han demostrado cómo la sobreexpresión de estos reguladores altera la producción de exopolisacáridos y la formación de biofilms (30). La determinación de la formación de exopolisacáridos en las estirpes de sobreexpresión de proteínas FUR por el método del fenol-sulfúrico mostró que tanto la sobreexpresión de FurA como la de FurC provoca un aumento de la producción de exopolisacáridos, mientras que la sobreexpresión de FurB conduce a una menor producción de los mismos, en comparación con la estirpe silvestre. En el caso de la formación de biofilms, se determinó por el método del cristal violeta, y los resultados fueron semejantes a los de la producción de exopolisacáridos. Las estirpes de sobreexpresión de FurA y de FurC producen más biofilm que la estirpe silvestre, mientras que para la estirpe de sobreexpresión de FurB la producción de biofilm es menor (30).

Partiendo de estas observaciones se inició el estudio del papel de las proteínas FUR en la formación de biofilms en *Anabaena sp.* PCC7120. En primer lugar, se han llevado a cabo una revisión bibliográfica y estudios de homología que han permitido identificar de más de 100 genes potencialmente implicados en este proceso. Con ello, se ha ampliado el conocimiento sobre la formación de biofilms en esta cianobacteria, el cual, a diferencia de lo que ocurre en el caso de las bacterias heterótrofas, es todavía muy limitado.

Por otra parte, la búsqueda de cajas FUR y los ensayos de retardo en gel (EMSA) han permitido identificar 54 genes implicados en la formación de biofilms regulados por esta familia de proteínas, lo que podría explicar los resultados de producción de exopolisacáridos y de formación de biofilms observados en las estirpes de sobreexpresión de estas.

En este trabajo se ha demostrado que FurA regula la expresión de factores de transcripción relacionados con la síntesis de biofilms (el regulador negativo de sigma B y el agonista del factor anti sigma), así como la de numerosas glicosiltransferasas, proteínas de síntesis de polisacáridos, de lipopolisacáridos, polisacárido copolímerasas, proteínas modificadoras de monosacáridos y proteínas del sistema de la cianoexosortasa. Además, regula la expresión de proteínas de los sistemas de síntesis de EPS, como proteínas del sistema Wzy dependiente (Wzx, Wzy, Wza y Wza), proteínas del sistema dependiente de transportador de tipo ABC (KpsE, KpsT y KpsM) y proteínas del sistema dependiente de sintasa (Alg44). Teniendo en cuenta que la estirpe de sobreexpresión de FurA produce más biofilm y más exopolisacáridos que la estirpe silvestre (30), es posible que FurA pueda actuar como activador de la expresión génica de genes de glicosiltransferasas y de proteínas de los sistemas de síntesis de EPS .

Respecto a FurB, regula la expresión de factores de transcripción relacionados con la síntesis de biofilms, al igual que FurA, así como la de glicosiltransferasas y proteínas modificadoras de monosacáridos. FurB regula también la expresión de proteínas pertenecientes a sistemas de síntesis de EPS, como proteínas pertenecientes al sistema Wzy dependiente (Wzx y Wza) o proteínas del sistema dependiente de transportador de tipo ABC (KpsT y KpsM). En este caso, dado que se ha observado que la estirpe de sobreexpresión de FurB produce menos biofilm

y menos exopolisacáridos que la estirpe silvestre, es probable que FurB actúe reprimiendo los genes identificados en este estudio, de modo que su sobreexpresión disminuiría la síntesis de exopolisacáridos y por tanto la formación de biofilms.

Finalmente, FurC también se ve implicada en la regulación de la formación de biofilms. En este caso, regula la expresión de glicosiltransferasas, de proteínas del sistema Wzy dependiente (Wza) y de proteínas del sistema de síntesis de EPS dependiente de transportador de tipo ABC (KpsT, KpsM y KpsF). El papel de FurC en la regulación de la formación de biofilms en *Anabaena sp.* PCC 7120 podría ser el mismo que se ha propuesto para FurA. Es decir, FurC podría actuar como activador de la expresión génica de genes implicados en la formación de biofilms, lo que permitiría explicar por qué la sobreexpresión de FurC da lugar a una mayor síntesis de exopolisacáridos y una mayor formación de biofilms.

Los estudios previos, junto con los resultados obtenidos en este trabajo, ponen de manifiesto que las proteínas FUR desempeñan papeles importantes en la regulación de la formación de los biofilms en *Anabaena sp.* PCC 7120. *A priori*, teniendo en cuenta los resultados de formación de biofilms de las estirpes de sobreexpresión de las proteínas FUR, cabría pensar que FurA y FurC pueden ejercer un papel de activadores transcripcionales en la mayoría de casos, induciendo la expresión de los genes identificados, mientras que FurB actuaría como represor, fundamentalmente. Sin embargo, son necesarios estudios *in vivo* que permitan determinar el efecto de la sobreexpresión de las proteínas FUR sobre la expresión de los genes identificados en el estudio y, por tanto, confirmar su papel como activadores o represores de estos genes.

## 6. Conclusiones

A partir de los resultados obtenidos en el estudio se extraen las siguientes conclusiones:

- *Anabaena sp.* PCC7120 contiene en su genoma 108 genes potencialmente implicados en la formación de biofilms, los cuales han sido identificados mediante una revisión bibliográfica y estudios de homología de proteínas.
- La predicción de cajas de unión de las proteínas FUR ha permitido localizar 54 dianas directas de estos reguladores.
- Las proteínas FUR regulan la formación de biofilms a todos los niveles del proceso, desde la regulación de la expresión de factores de transcripción implicados en el proceso hasta la expresión de las proteínas implicadas en la síntesis y exportación de los EPS.

## Conclusions.

From the results obtained in the study we can conclude:

- *Anabaena sp.* PCC7120 encodes 108 genes potentially involved in biofilm formation, which have been identified developing a bibliographic revision and protein homology studies
- FUR boxes prediction has allowed the identification of 54 direct targets of FUR proteins.
- FUR proteins regulate biofilm formation on all the levels of the process, from the regulation of transcriptional factors expression to the regulation of the expression of the proteins involved in the synthesis and exportation of EPS.

## 7. Bibliografía

1. Whitton BA, Potts M. Introduction to the Cyanobacteria. In: Ecology of Cyanobacteria II. Springer Netherlands; 2012. p. 1-13.
2. Facey JA, Rogers TA, Apte SC, Mitrovic SM. Micronutrients as growth limiting factors in cyanobacterial blooms; a survey of freshwaters in South East Australia. *Aquat Sci*. 2021;83(2).
3. Fay P. Oxygen relations of nitrogen fixation in cyanobacteria. *Microbiol Rev*. 1992;56(2):340-73.
4. Yadav RK, Abraham G, Singh YV, Singh PK. Advancements in the utilization of *Azolla-Anabaena* system in relation to sustainable agricultural practices. *P Indian Aca Sci*. 2014;80(2):301.
5. Anderson DM, Glibert PM, Burkholder JM. Harmful algal blooms and eutrophication: Nutrient sources, composition, and consequences. *Estuaries*. 2002;25(4):704-26.
6. Ríos ADL, Grube M, Sancho LG, Ascaso C. Ultrastructural and genetic characteristics of endolithic cyanobacterial biofilms colonizing Antarctic granite rocks. *FEMS Microbiol Ecol*. 2007;59(2):386-95.
7. Flemming HC, Wingender J. The biofilm matrix. *Nat Rev Microbiol*. 2010;8(9):623-33.
8. Pereira S, Zille A, Micheletti E, Moradas-Ferreira P, Philippis RD, Tamagnini P. Complexity of cyanobacterial exopolysaccharides: composition, structures, inducing factors and putative genes involved in their biosynthesis and assembly. *FEMS Microbiol Rev*. 2009;33(5):917-41.
9. Philippis RD, Colica G, Micheletti E. Exopolysaccharide-producing cyanobacteria in heavy metal removal from water: molecular basis and practical applicability of the biosorption process. *Appl Microbiol Biot*. 2011;92(4):697-708.
10. Philippis RD, Sili C, Paperi R, Vincenzini M. Exopolysaccharide-producing cyanobacteria and their possible exploitation: A review. *J Appl Phycol*. 2001;13(4):293-9.
11. Kawaguchi T, Decho AW. Biochemical Characterization of Cyanobacterial Extracellular Polymers (EPS) from Modern Marine Stromatolites (Bahamas). *Preparative Biochem Biotech*. 2000;30(4):321-30.
12. Tamaru Y, Takani Y, Yoshida T, Sakamoto T. Crucial Role of Extracellular Polysaccharides in Desiccation and Freezing Tolerance in the Terrestrial Cyanobacterium *Nostoc commune*. *App Environ Microb*. 2005;71(11):7327-33.
13. Kidron GJ, Yaalon DH, Vonshak A. Two causes for runoff initiation on microbiotic crusts: hydrophobicity and pore clogging. *Soil Sci*. 1999;164(1):18-27.
14. Phoenix VR, Adams DG, Konhauser KO. Cyanobacterial viability during hydrothermal biominerallisation. *Chem Geol*. 2000;169(3-4):329-38.
15. Adhikary SP, Sahu JK. UV protecting pigment of the terrestrial cyanobacterium *Tolyphothrix byssoides*. *J Plant Physiol*. 1998;153(5-6):770-3.
16. Parker DL, Schram BR, Plude JL, Moore RE. Effect of Metal Cations on the Viscosity of a Pectin-Like Capsular Polysaccharide from the Cyanobacterium *Microcystis flos-aquae* C3-40. *App environ microb*. 1996;62(4):1208-13.
17. Philippis RD, Paperi R, Sili C. Heavy metal sorption by released polysaccharides and whole cultures of two exopolysaccharide-producing cyanobacteria. *Biodegradation*. 2006;18(2):181-7.
18. Pereira SB, Mota R, Vieira CP, Vieira J, Tamagnini P. Phylum-wide analysis of genes/proteins related to the last steps of assembly and export of extracellular polymeric substances (EPS) in cyanobacteria. *Scientific Reports*. 2015;5(1).
19. Pereira SB, Santos M, Leite JP, Flores C, Eisfeld C, Büttel Z, et al. The role of the tyrosine kinase Wzc(*sll0923*) and the phosphatase Wzb (*slr0328*) in the production of extracellular polymeric substances (EPS) by *Synechocystis* PCC6803. *Microbiology Open*. 2019;8(6).
20. Rai J, Kumar D, Pandey LK, Yadav A, Gaur JP. Potential of cyanobacterial biofilms in phosphate removal and biomass production. *J Environ Manage*. 2016;177:138-44.

21. Roeselers G, van Loosdrecht MCM, Muyzer G. Phototrophic biofilms and their potential applications. *J Appl Phycol.* 2007;20(3):227-35.
22. Bharti A, Velmourougane K, Prasanna R. Phototrophic biofilms: diversity, ecology and applications. *J Appl Phycol.* 2017;29(6):2729-44.
23. Schütz K, Happe T, Troshina O, Lindblad P, Leitao E, Oliveira P, et al. Cyanobacterial H<sub>2</sub> production, a comparative analysis. *Planta.* 2004;218(3):350-9.
24. Fillat MF. The FUR (ferric uptake regulator) superfamily: Diversity and versatility of key transcriptional regulators. *Arch Biochem and Biophys.* 2014;546:41-52.
25. Sevilla E, Bes MT, Peleato ML, Fillat MF. Fur-like proteins: Beyond the ferric uptake regulator (Fur) paralog. *Arch Biochem Biophys.* 2021;701:108770.
26. González A, Bes MT, Barja F, Peleato ML, Fillat MF. Overexpression of FurA in *Anabaena* sp. PCC7120 Reveals New Targets for This Regulator Involved in Photosynthesis, Iron Uptake and Cellular Morphology. *Plant Cell Physiol.* 2010;51(11):1900-14.
27. Sein-Echaluce VC, González A, Napolitano M, Luque I, Barja F, Peleato ML, et al. Zur (FurB) is a key factor in the control of the oxidative stress response in *Anabaena* sp. PCC7120. *Environ Microbiol.* 2014;17(6):2006-17.
28. Sevilla E, Sarasa-Buisan C, González A, Cases R, Kufryk G, Peleato ML, et al. Regulation by FurC in Anabaena Links the Oxidative Stress Response to Photosynthetic Metabolism. *Plant Cell Physiol.* 2019;60(8):1778-89.
29. Sarasa-Buisan C, Guio J, Broset E, Peleato ML, Fillat MF, Sevilla E. FurC (PerR) from *Anabaena* sp. PCC7120: a versatile transcriptional regulator engaged in the regulatory network of heterocyst development and nitrogen fixation. *Environ Microbiol.* 2021.
30. Sandoval A. Papel de los reguladores transcripcionales FUR (*Ferric Uptake Regulator*) en la síntesis de exopolisacáridos y formación de biofilms en *Anabaena* sp. PCC7120 [Tesis doctoral]. Universidad de Zaragoza; 2021.
31. Kehr JC, Dittmann E. Biosynthesis and Function of Extracellular Glycans in Cyanobacteria. *Life.* 2015;5(1):164-80.
32. Yoshimura H, Okamoto S, Tsumuraya Y, Ohmori M. Group 3 sigma factor gene, *sigJ*, a key regulator of desiccation tolerance, regulates the synthesis of extracellular polysaccharide in cyanobacterium *Anabaena* sp. strain PCC7120. *DNA Res.* 2007;14(1):13-24.
33. Ciebiada M, Kubiak K, Daroch M. Modifying the Cyanobacterial Metabolism as a Key to Efficient Biopolymer Production in Photosynthetic Microorganisms. *Int J Mol Sci.* 2020;21(19):7204.
34. Pereira SB, Mota R, Santos CL, Philippis RD, Tamagnini P. Assembly and Export of Extracellular Polymeric Substances (EPS) in Cyanobacteria. In: *Adv Bot Res.* Elsevier; 2013. p. 235-79.
35. Oliveira P, Pinto F, Pacheco CC, Mota R, Tamagnini P. HesF, an exoprotein required for filament adhesion and aggregation in *Anabaena* sp. PCC7120. *Environ Microbiol.* 2014;17(5):1631-48.
36. López-Gomollón S, Hernández JA, Angarica VE, Peleato ML, Fillat MF. Cross-talk Between Iron and Nitrogen Regulatory Networks in *Anabaena* (*Nostoc*) sp. PCC 7120: Identification of Overlapping Genes in FurA and NtcA Regulons. *J Mol Biol.* 2007;374(1):267-81.
37. Rost B. Protein structures sustain evolutionary drift. *Fold Des.* 1997;2:S19-24.
38. Hanna A, Berg M, Stout V, Razatos A. Role of Capsular Colanic Acid in Adhesion of Uropathogenic *Escherichia coli*. *Appl Environ Microb.* 2003;69(8):4474-81.
39. Pavelka MS, Hayes SF, Silver RP. Characterization of KpsT, the ATP-binding component of the ABC-transporter involved with the export of capsular polysialic acid in *Escherichia coli* K1. *J Biol Chem.* 1994;269(31):20149-58.
40. Jäger S, Jonas B, Pfanzelt D, Horstkotte MA, Rohde H, Mack D, et al. Regulation of Biofilm Formation by sigma B is a Common Mechanism in *Staphylococcus epidermidis* and is not Mediated by Transcriptional Regulation of *sarA*. *Int J Artif Organs.* 2009;32(9):584-91.

---

## MATERIAL SUPLEMENTARIO

---

## 8. Material suplementario

### 8.1. Programa del termociclador para la PCR

1. Desnaturalización inicial del DNA: 5 min a 95 °C
2. Desnaturalización del DNA: 30 s a 95 °C
3. Hibridación del DNA: 30 s a una temperatura 2 °C inferior a la Tm de cada par de cebadores
4. Etapa de elongación: 45 s a 72 °C
5. Elongación final: 10 min a 72 °C
6. Conservación: a 4 °C

Los pasos segundo a cuarto se repitieron cíclicamente un total de 30 veces. La temperatura de hibridación (Tm) dependió de la pareja de oligonucleótidos empleados, siendo siempre 2 °C inferior a la temperatura de hibridación de los oligonucleótidos. En la sección 8.2 de Material Suplementario se detalla tanto la Tm como la secuencia de cada uno de los oligonucleótidos utilizados.

### 8.2. Oligonucleótidos utilizados para la amplificación de las regiones promotoras de los genes potencialmente implicados en la formación de biofilms en *Anabaena sp. PCC7120*

Oligonucleótido	Secuencia 5' → 3'	Tm (°C)	Secuencia amplificada
Pall0042 up	TTTACCGATATAGTTTAACCTGG	60	Promotor del gen <i>all0042</i> de <i>Anabaena sp. PCC7120</i>
Pall0042 dw	AACCGCAATGCGATACTCAG		
Pall0059 up	TCGCCAGGAAATAATCAGGG	60	Promotor del gen <i>all0059</i> de <i>Anabaena sp. PCC7120</i>
Pall0059 dw	ACGCTACCAATTCATCAGTAG		
Palr0267 up	TTTGAGGATGGTATTCTAGC	60	Promotor del gen <i>alr0267</i> de <i>Anabaena sp. PCC7120</i>
Palr0267 dw	ATTTGAGACTGCTATGTTAAGC		
Palr0277 up	TTAGCCTAACGGGATGCAAG	60	Promotor del gen <i>alr0277</i> de <i>Anabaena sp. PCC7120</i>
Palr0277 dw	TACCATCAGTTGCATAGAGG		
Pall0493 up	GATACTGATGGCAGAAAATAAG	62	Promotor del operón <i>all0493-all0492</i> de <i>Anabaena sp. PCC7120</i>
Pall0493 dw	GTTTAATTCCCTGACCTTGTGC		
Pall0496 up	AGAAAGCCAGCTACTTCCC	60	Promotor del operón <i>all0496-all0495</i> en <i>Anabaena sp. PCC7120</i>
Pall0496 dw	AAGTAGTTAAGTGCTTTGTTG		
Pall0497 up	TACCCAGGAAAGTAAAGTAGC	60	Promotor del gen <i>all0497</i> de <i>Anabaena sp. PCC7120</i>
Pall0497 dw	TTCGTGTTCTGTGCTGATGG		
Palr0657 up	TCCTAACACTACGACAGCAG	60	Promotor del operón <i>alr0657-alr0658</i> de <i>Anabaena sp. PCC7120</i>
Palr0657 dw	CGCCAGTCACCAAATTCTC		
Palr0776 up	ACCAGCCGGATTTGTAGTG	60	Promotor del gen <i>alr0776</i> de <i>Anabaena sp. PCC7120</i>
Palr0776 dw	CAACCAAATGACCAAAGATAAC		
Pall0917 up	GCGAGTAGTAGGTAAACTGC	60	Promotor del operón <i>all0917-all0916</i> de <i>Anabaena sp. PCC7120</i>
Pall0917 dw	TGCCTAACGCATACTCTCAGG		

Pall0919 up	TTCCAGAACGTTCTTATCTATGC	60	Promotor del gen <i>all0919</i> de <i>Anabaena sp.</i> PCC7120
Pall0919 dw	GATTGACAACGAACGTTCTG		
Palr1490 up	TGACGATTGCGGCATAAAGC	60	Promotor del operón <i>alr1490-alr1491</i> de <i>Anabaena sp.</i> PCC7120
Palr1490 dw	TGATGTAATTGTCACATAGGG		
Pall2293 up	ACAATTAAAGGTTGGACATGG	60	Promotor del operón <i>all2293-all2283</i> y <i>alr2294-</i> <i>alr2296</i> de <i>Anabaena sp.</i> PCC7120
Pall2293 dw	GTCGAATAAGTATTTACTAAACC		
Palr2372 up	TGAGGGATAGAGTATCTCATTTG	60	Promotor del operón <i>alr2372-alr2374</i> de <i>Anabaena sp.</i> PCC7120
Palr2372 dw	GACGGCTTCAACAGTACCG		
Pall2770 up	ATTCATCTGCTTACCATCACC	60	Promotor del gen <i>all2770</i> de <i>Anabaena sp.</i> PCC7120
Pall2770 dw	TGCGGGTACTGGCAACAATG		
Palr2832 up	TACCCATCTAAAAACGCC	60	Promotor del operón <i>alr2832-alr2833</i> de <i>Anabaena sp.</i> PCC7120
Palr2832 dw	TCATGGACTAGAGCAACTTC		
Palr2856 up	TGATAGGTACTGATCTAGGTG	60	Promotor del gen <i>alr2856</i> de <i>Anabaena sp.</i> PCC7120
Palr2856 dw	CTGTTGGAAGTTAACAGGTC		
Palr2861 up	CAGCATCAAACAGCTTATCTTG	60	Promotor del gen <i>alr2861</i> de <i>Anabaena sp.</i> PCC7120
Palr2861 dw	TGCCAAACAAACTATAAAATGCC		
Palr3057 up	AGCAGATTTCAAGCCACTAG	60	Promotor del operón <i>alr3057-alr3060</i> de <i>Anabaena sp.</i> PCC7120
Palr3057 dw	ACGCATTACTCACACCCTAG		
Palr3061 up	CACAGAATAGTCTTGCTGG	60	Promotor del gen <i>alr3061</i> de <i>Anabaena sp.</i> PCC7120
Palr3061 dw	TCTCCATGTGCGAGTACTAC		
Palr3068 up	CCGCTAAAAGATTAAAAATGGC	60	Promotor del gen <i>alr3068</i> de <i>Anabaena sp.</i> PCC7120
Palr3068 dw	TGCGGTCAGTGGAAACCATC		
Palr3069 up	TGCTCAGGATTAAATTATCTGG	60	Promotor del operón <i>alr3069-alr3071</i> de <i>Anabaena sp.</i> PCC7120
Palr3069 dw	TAATGGTGATAGATGATTTCG		
Palr3073 up	TCTCATGTATTGTCATACCTG	60	Promotor del operón <i>alr3073-alr3074</i> de <i>Anabaena sp.</i> PCC7120
Palr3073 dw	ATTACAATGATTCTAAATCTGAG		
Palr3464 up	TAGCTTGTAGGGTGGGTAG	60	Promotor del gen <i>alr3464</i> de <i>Anabaena sp.</i> PCC7120
Palr3464 dw	GTTGCCAACGTGTATGACC		
Pall3509 up	TTACCCAATCCCCATTACCC	60	Promotor del gen <i>all3509</i> de <i>Anabaena sp.</i> PCC7120
Pall3509 dw	GCAATAAATCCTGCTGCTCC		
Palr3756 up	CGATCGCACCTGAGCAATAG	62	Promotor del operón <i>alr3756-alr3757</i> de <i>Anabaena sp.</i> PCC7120
Palr3756 dw	GGAACAATGCCATCCATTCC		
Pall4219 up	GGGTTGAACTAACGCAAGCTG	60	Promotor del gen <i>all4219</i> de <i>Anabaena sp.</i> PCC7120
Pall4219 dw	CAGGATTGCGAGTTGTGAGG		
Palr4239 up	AATAGTGGTAATTTACTTTGGG	60	Promotor del operón <i>alr4239-alr4240</i> de <i>Anabaena sp.</i> PCC7120
Palr4239 dw	ACAAGAAATTCTTGAAAGCGC		
Pall4388 up	GATCAATCAGAACGTATAGCCG	60	Promotor del gen <i>all4388</i> de <i>Anabaena sp.</i> PCC7120
Pall4388 dw	GCTGGCTGTGATAGAAATTTC		
Pall4426 up	GACATTGGCGTTATTGGCTAC	62	Promotor del operón <i>all4426-all4422</i> de <i>Anabaena sp.</i> PCC7120
Pall4426 dw	TCTAGCAATTCCCTGAAATAGTC		
Pall4432 up	GAGTGCTTGGAGTTAAGTG	60	Promotor del operón <i>all4432-all4426</i> de <i>Anabaena sp.</i> PCC7120
Pall4432 dw	CCTTGTAAAGAGTCCATTGTC		
Palr4485 up	GAAACTTCAGTTAACGACACCAC	62	Promotor del operón <i>alr4485-alr4488</i> de <i>Anabaena sp.</i> PCC7120
Palr4485 dw	CTGCACTTGCAGCCAGTTG		
Pall5073 up	CACGGGAATCAGGACATCG	60	Promotor del gen <i>all5073</i> de <i>Anabaena sp.</i> PCC7120
Pall5073 dw	TAGCTAGAAACTGTTTAGAGG		
Pall5222 up	GGGAACAGCAACAGGTTGTG	60	Promotor del gen <i>all5222</i> de <i>Anabaena sp.</i> PCC7120
Pall5222 dw	ACCAATGATGTTAACCGAATAC		

Pall5223 up	TTGAAAACGGAAATTAAGAGG	60	Región promotora común al gen <i>all5222</i> y el gen <i>alr5223</i> de <i>Anabaena sp.</i> PCC7120
Pall5223 dw	TACAATGTACCGATTGGTTG		
Palr7196 up	ACTCTTGGCTGGCAATTGAG	60	Promotor del gen <i>alr7196</i> de <i>Anabaena sp.</i> PCC7120
Palr7196 dw	GCATCTAACCTTAGTCCGGC		
Pall1691 up	CATATGACTGTCTACACAAATACTTCG	72	Promotor del gen <i>all1691 (furA)</i> de <i>Anabaena sp.</i> PCC7120
Pall1691 dw	GGATCCCTAAAGTGGCATGAGCG		
Palr1911 up	GCCTACTCTGCGAGTTCTCCG	68	Promotor del gen <i>alr1911 (nifJ)</i> de <i>Anabaena sp.</i> PCC7120
Palr1911 dw	GGCCTGTGAGAGTTGCTGCAC		
Pall4725 up	CTCCGGTGGCACAGGTATTGGC	72	Promotor del gen <i>all4725</i> de <i>Anabaena sp.</i> PCC7120
Pall4725 dw	CAGTGTGCAAGTCCGACGCAACCG		
Palr0094 up	GCGTTAGTTATCCGAAA	62	Promotor del gen <i>alr0094 (hetZ)</i> de <i>Anabaena sp.</i> PCC7120
Palr0094 dw	CTCAAGCATTGTTGTAGCCG		

**Tabla 5.** Listado de oligonucleótidos utilizados en la amplificación de las regiones promotoras de los genes potencialmente implicados en la formación de biofilms.

**8.3. Matrices de peso para la búsqueda de cajas FUR**

0.642857 0.142857 0.000000 0.214286

0.428571 0.000000 0.357143 0.214286

0.500000 0.000000 0.142857 0.357143

0.571429 0.000000 0.000000 0.428571

0.785714 0.000000 0.214286 0.000000

0.642857 0.000000 0.000000 0.357143

1.000000 0.000000 0.000000 0.000000

0.214286 0.000000 0.142857 0.642857

0.142857 0.214286 0.000000 0.642857

0.000000 0.642857 0.000000 0.357143

0.071429 0.000000 0.000000 0.928571

0.000000 0.642857 0.357143 0.000000

0.928571 0.071429 0.000000 0.000000

0.714286 0.000000 0.000000 0.285714

0.214286 0.071429 0.071429 0.642857

0.785714 0.000000 0.000000 0.214286

0.785714 0.000000 0.000000 0.214286

0.642857 0.000000 0.357143 0.000000

0.000000 0.285714 0.000000 0.714286

Matriz de peso utilizada para la búsqueda de cajas de unión de FurA.

0.333333 0.266667 0.266667 0.133333  
0.666667 0.066667 0.066667 0.200000  
0.266667 0.000000 0.266667 0.466667  
0.333333 0.200000 0.133333 0.333333  
0.600000 0.200000 0.133333 0.066667  
0.000000 0.000000 0.000000 1.000000  
0.066667 0.000000 0.933333 0.000000  
0.933333 0.000000 0.000000 0.066667  
0.066667 0.000000 0.066667 0.866667  
0.933333 0.000000 0.000000 0.066667  
0.933333 0.000000 0.000000 0.066667  
0.000000 0.200000 0.000000 0.800000  
0.133333 0.333333 0.400000 0.133333  
0.866667 0.000000 0.066667 0.066667  
0.066667 0.000000 0.000000 0.933333  
0.200000 0.000000 0.000000 0.800000  
0.733333 0.133333 0.066667 0.066667  
0.000000 0.066667 0.000000 0.933333  
0.133333 0.800000 0.000000 0.066667  
0.800000 0.066667 0.066667 0.066667  
0.533333 0.000000 0.133333 0.333333  
0.400000 0.066667 0.066667 0.466667  
0.666667 0.133333 0.000000 0.200000  
0.400000 0.133333 0.066667 0.400000  
0.400000 0.200000 0.133333 0.266667

Matriz de peso utilizada para la búsqueda de cajas de unión de FurB.

0.111111 0.500000 0.000000 0.388889  
0.666667 0.000000 0.222222 0.111111  
0.777778 0.000000 0.000000 0.222222  
0.666667 0.166667 0.055556 0.111111  
0.444444 0.222222 0.333333 0.000000  
0.000000 0.000000 0.111111 0.888889  
0.000000 0.944444 0.055556 0.000000  
1.000000 0.000000 0.000000 0.000000  
0.333333 0.000000 0.000000 0.666667  
0.500000 0.111111 0.166667 0.222222  
0.888889 0.055556 0.000000 0.055556  
0.166667 0.611111 0.000000 0.222222  
0.333333 0.166667 0.444444 0.055556  
1.000000 0.000000 0.000000 0.000000  
0.166667 0.388889 0.222222 0.222222  
0.277778 0.000000 0.000000 0.722222  
0.222222 0.111111 0.055556 0.611111  
0.000000 0.166667 0.055556 0.777778  
0.277778 0.000000 0.722222 0.000000

Matriz de peso utilizada para la búsqueda de cajas de unión de FurC.

#### 8.4. Secuencias intergénicas en las que se detectaron cajas FUR

all0042

ACAATGCCAGTGA  
CTGTTCTGTACCGACCGTCTGGATAAATGATGA  
ATTCTAAATGTTCCATACTCT  
TAGCCAACCACAATAAGTCCGCTTGA  
ATTTTACTGCCTTAGCAGCAAGCTATATGTATAGCTCCAGGAAC  
ATTGTTACTTAGATA  
CAAACCTGCCATT  
TTAACTAATGTTCCATCTCT  
AAAATAAATCTCAGAAA  
ATTTACAAAATTATGA  
ATTTATAAGTC  
AACACATCTGTTATTAGTTAGTTCTCTTA  
ACCTAACCTAAC  
AAGTC  
AAGGTAATCTCGTGTGATGGTTTGGCGTAAAAGCTTGAAA  
AATCGGCACTAGGGTAGTAT  
AGCTAGCTGTGTC  
ACTGTA  
AAAATAGCAA  
ATTATTGAAA  
ATTCTTATCATC  
ATCGGCTTGACTT  
ATTCTCGGATGGGCA  
AAACTGCA  
CTGTGTTAGGAGCAGTTA  
AGGATTACAAGAGCA  
AAAATGCTGTA  
ATC  
TCAACATTAAGT  
ATT  
TATC  
ACAAAAAA  
ACATT  
ACAAATGATGAGG  
TAGTATCC  
CATGAGACAAGAGAT  
TTTGCG  
AGATTCA  
CTGTAGTAGTATT  
GGTGT  
CACG  
CTCGT  
CTACT  
TAGTATC  
ACTAAC  
GCATT  
AC  
CTGCT  
AATGG  
GAGA  
AT  
AT  
TT  
C  
TT  
TAG  
TT  
AG  
AC  
CT  
TA  
ACT  
TT  
TT  
TAT  
CAAG  
GCAC  
ATT  
GAGGG  
ACT  
AGGG  
TTAA  
ATT  
AA  
ACT  
TT  
AA  
AG  
GAG  
CT  
ATT  
TT  
AA  
ACA  
AAA  
AC  
GGT  
AACT  
GAG  
ATT  
GCC  
AGT  
TAG  
TT  
CT  
CT  
TA  
ATT  
GT  
TA  
ATT  
TT  
GC  
AG  
GG  
TA  
AG  
CT  
AT  
GTT  
GAAA  
AA  
AG  
ATT  
GAA  
ACT  
AG  
TATT  
A  
GAA  
ATT  
AAA  
AG  
GAG  
ACC  
AG  
A  
ACT  
TT  
TT  
G  
CG  
GT  
TT  
CT  
GT  
CT  
G  
TT  
CA  
AGGG  
TT  
AT  
C  
ATT  
GA  
AC  
CC  
ATT  
A  
AT  
C  
AT  
G  
GT  
TA  
ACT  
ACA  
AA  
CT  
GG  
TT  
GA  
AG  
ATT  
TT  
AG  
TATT  
CA  
AA  
CT  
TT  
AT  
G  
AAA  
AT  
C  
AG  
GT  
T  
CT  
G  
CC  
TA  
AG  
G  
C  
TT  
G  
CC  
GA  
AT  
G  
A  
AG  
C  
CT

all0059

AAAAAGCAAAGAATATTGAAGGTTACGTAGCCTTGGAAAGGTGAAAGGTTGAGACTAAATAAGCATC  
ATCAGCTAACAACTAAACTTGTGGAGACGCCAGCAATCGCTTTTTATCATATAAAATTTT  
TCATCTACCCTCAGTTCTTGTGCCAGGAAATAATCAGGAATTCAAGTAAGCTTAAATTCATA  
TTCAAAATTTAGTTGAAATCAGATAATTTCATTATTTAACCTAGAAATTACTGTTAACAGTGAATC  
AACCTATACCTGGGAAAATTAAATTATTTGTTCATGTATATTTCGAGAATATCAGATTACTATG  
ATGTTAGTTAAATAATAATGCAATTAAATTGTAATTATTTAGCGATGCCCTACACATACACTATC  
CCTAAAAGCTATACAAATTCAAGATATGCCCTACACTAATATGTACAAGTAATACAAGTCACCTA  
ATTACAATCAAGTGAATTAAATTTCGTTAAATATCCTGCCATATAAAAAATAAAACTGTCTACT  
GATGAATTGGTAGCGTTATTATAACAAACCTCTCCCTTAAAGAAGAACCTGAATATTACTTCAACATA  
TTAATAAGGATATCGTAAAAAAATATCAGAGAAGTTGACACTACAAACACTCTGTTAAGCTCAATGT  
GCTTGTATTCACTATGTAATCAAACTTCAGTTTATACAAAGTAATAGTTGTAATTAAATCAA  
GTATATATGTGTCGTAATATAACTTTAATGGAAAGATTGTTAAGAGAGTATTTAATTAAAAATAT  
TTATTTCTAGAAACTGACCGATATCGGAGGGATTGTATA GTGGCTAACATCAGTTAAAGCAAGGAC  
**AATTGTTACCAATTCTTGCCAAATAATGGAAATT**

alr0267

ATCCCTGTACCACTACCAATCTGCCATTAAATTGCTCACGACGCTGCCGATATTCTGCTTGCATAACCG  
TTAATCTTGAAATTGGTATAATTACACTTTGGCAACTATTATGCTGAAAGTTACTATCTGCA  
GTAGTTGCTAATTAAAGTATTAAACCAATTATTATTCACACTCAAGTGTAGTACAAGAAATCAGACAT  
CTTTGAGGATGGTATTCTAGCATAAATTAGTTCGACAGTGAATATTATTCGCTATGACACAAAA  
TAATTCTAAGTAATTAAATCCGTCTAATTGGTGTGGATTGCAATTAACTATATT  
TTGTGATTATGCTGCTTGTGCAGTTTATTAAAAATTGCTGATATAACTATTAGTTTATCCTTGC  
ACAAATTAAAGAAAAGGATTGGTAGCCAATTTCACGAATTAAATTATGCTGTTGCATTGAAGAC  
GGTTGCTTAACATAGCAGTCTAAATTACATCTGGAAACCTAACCTAATCACTATATCCCATTCC  
ATCAAGTGAATTGGCATCATTCAAAGAGATACGAAGCAATATGTATATCTAGATATCTGACATGAAA  
AATCATGATTGAGGATTAGGTATTGTCAAAACAACATTGATTTCGAAATATGTTAAATTAA  
CCGTAAAAATTATGTAAAATTGATATTCTCAAAATAGGAGTGTGGATACAGTAATTCTAAACT  
TAAAATAATGTTATTAGCTAACAGAACATGAATTATCAGCTAAAACCTTTAAGACAACAAGTTA

AGAAACCACCATGCCAGAACGCAAAGCTTTCCAAGAGAATAGATAATTGCTTAATACATCTTGCA  
AGATC

*alr0277*

TTCAAATAGGTTTGTCTAATAACCGACAATCATTAGTAGCAGTATTACTATAGCTGCATGAATCAA  
TCAAAATACCCACGGGAAGCGCAAGCGCTACAAAATTAAAGACAGCCACCAAGGGCGTTAGCCT  
AACGGGATGCAAGTCGGTTTTAACCTAACCTTCTCGTAAACTTCCGTTAACAAACCCCAGTT  
TTTTAACAAACTGGGTTTAGTTATGTATGTATTCCAGCAGAAATACTGAGTTGTTATCAGGA  
ATAAAATTATACAGAGAATTTTCAATTGAATAAAATAAAACTTATAACAGAGATAACTTATAAAAT  
CATGCGTACAAACACTGAACGGCAGAGTCAGCCCCCTGGTAAGTCAGTGAACAGACGATGGTTATTCA  
GGCGCTACTAAGGAAAATAATGACAGCTTGAAGAACATATTACGCAACTCCAATTGGTGAAGGAGGA  
GTTACCAAGGGAATTTTATATGGCAGCAAGTGAGTCCTCTATGCAAACGTGATGGTATGGAGTTATTG  
CGCTCATACCACCATAA

*al10493*

ATAAATGATGAATAATAGCTACTAAATGTGACAATATCTTGGATTGACCGCATAAATTTCATTAATT  
TTATATGCTCTTTATGACCCACCAATTGTTAAGAGCTATTATTGCTTTGAAAAATATAATGG  
TTGGATTAGC

*al10496*

CAGCACCTCTGGAGAGTGAAATAGAGGGAGAAAGCCAGCTACTTCCCTGAGATTACTGATTAAACCAT  
CATTGCATGAGTATTATTGCGTAGAAAAAGTGGACTGAGGAAGCATCTTAGTAAAATATTCCCTCAGT  
CCTCACCATGTTAAATTGAGCGAATTGAATTATAAGTAGCTCTGGGTATCTAGCAGAGAAAATT  
ACCAAACTTCACATACTGGACAGAGTGAAATAAATTACTGTACAGATTCTAGGGTATAACGTAGATA  
GATTGACAATTTCAGTGAACCTATAGTGTCACTTTCCAGTAAATTGCGTAAATATAGCAATT  
ACTAATGATCCCTTATCTAAACAAAAGCACTAACTACTTAGTAGTGTGTTATT

*al10497*

CCAAAGCAGTAGGAGATTTCTGCAAACACCAGCATCCACTACCCAGGAAAGTAAAGTAGCATAAGTT  
AGTGCTGCATTCTTAAATACCCACAAGGTATATCGTAATAGTAATTGGTCTTCAATTACCA  
TTACCAATGGTACCCCTAATTGAACTCCCTCAAAGAGAGTTGATCAACTTATATATTCTGATTTTG  
AACACTAAAATTGAAATTGCTTACGTTATGGCAGCAACAGATTAGAACCCGAAACACGGATCA  
ATTACTAGGCATAGGCATTAGG

*alr0657*

AACCGAACGCCTGCAAACAGGTAATATCACCTCTGTAGCTCCTAACACTACGACAGCAGTATAAACACC  
CCTACACCCCTACACCCCCATACCCCTAATTCTGACAACGTACTCTAACAAAGACTTATTGTTGAAG  
ATTGATGAATTATTGATCAAAGACACAAATACTTCATGATGTTGTTATTGCTAAGTGAATTAACA  
AAAATCTAAAGAAAATGTAACACCCCAAGCAAAATCTGAATGAGTATTGTTCTGCTGTATTGTCAT  
ATTGGGCTAGATGGTTAGAACCAATACTAAAGCTACTAACAAATCTATTAGTAACGGAAAATA  
TGAGAATTGGTACTGGCGGTGCAGGATTATTGGTCTCATCTATTGATGGCTGATACC

*alr0776*

TATTTTGACTAGCTGCGATGCCCTCTGCAATAGAATTGACTTGTACCCGTCTGTGTTCGCATCAAAT  
ACTACAAAAAATTTCACACACTCAGCAAATATTGTATTGTTGAGGCTAATCAATTCAAATTCAA  
AAATAATTAGTCCCCATAGTATTGAAGCGGTAAACAAACAGATGGGTGCGTTCTTTAGGGTTAATATTG  
TTATCTTGGTCATTGGTGGGATTACTATT

*al10917*

ACAAGGTTAACCGTTATTA  
TCCCTTCGTATTGATAAACGATAGGATACAA  
CTTACTCAACTCCCATA  
CCCCAAAACAAGT  
ATTTTCAGAACAAAGGGTCAAAACGATCTCTGAATT  
ACTACTTAAATCATTACCTTACAAATCTTGAGG  
TTCCACAA  
**T**CATGCTGCCTGAGATAGTTATCAGCCTGAGAGTATGCTTAGGCATCGATACAATTGTC  
**AAACT**

all0919

GCATGGCGTAAATTCTAAACATCCCCTGGTAGTTGGGAGAGAATTCTCGGTTAGAGACATATAAA  
TATTATCAAGTTATCTTCTTCCAGAAGTTCTATCTATGCAATATAAACCAATACAGTGCAGTTAAGA  
ATACATTATGAAATTAAATACATTTGGTAAAAAAAGATTATAGATATCTTACCAATAATCAGCAAGTT  
TAGCTAACACTGAATATCTACGTAATACGCTAGTAATTATGTCATCAAAAAAACTACATTATATGATT  
TTTCTACTGATATTAAAAATCTATCTCCAGAGAGATTCTCTGTTTCTATTGAACAATCATAAATCAT  
GATATATACTCATTGTCGAATAAGAGCAATTAAATATTAAATTGGGTGCAACTTTCAGGTTAC  
TTAGGTAATTATTGCAAGCTTATGGTGATGAAGAGTTGAGATAAAAAC**ATGAAGATTGCTGTTAGTT**  
**GACAAATTCCAGTTATTGCAAGAAACGTTCTGTTGCAATCAAAT**

alr1490

ATGGCTGCAATTCCAAGCAGACTATGATAAAACCAATAATTCCATTTAATCCACATGATAC  
TTACCTATATTGTTAACCGAGGTGATAAAATTGTGATGATTGAAATAATTACTACAATAGATGTATA  
GATCAGCATTGTGACTGGGATAACCAATTGGAAGATAAAATTGCAAATTGCTCTTGTAGAGTTGAA  
TATTTACGAGCCATCAAAGTTAACGGCATTGAAGTTAAAAGTTAACAGGGTCAGCCCTCTAGAAATA  
CAAATCCATAACCAATCCAGAGCCATACATCAATTATTGACGATTGCGGCATAAAGCATATAAAAAAT  
TACAAAATTGAAGAATACCCATATCACACGTGTGAATGATTAAATTAGAGTCATTGGTTTATTTC  
ATATTGCTCAGTATGCTTCTCACCTTGGTAGTAAATGCGACAAAGATATATAAAGGATCTGCGGG  
TTAATAGTGTCTAACCGCCGGTTTCGACTCCGCTCAACCCTCATCTGTCGAGAGTTGAGCGGAGTCG  
AAACTCGGTTACTGGTACTTTATTTCATGCAAGTCCCTAACGCTATTACGAGTGTCCCCAGTTAAAC  
AAAGAAGTCTGGTATTACGTTGCTTCTTCATATCCCCCTATGTTGACAATTACATCAGCTTAACCTAA  
CTTTTCACTAAAGCATAAAACATCAAATACTTCTGTATCTGAATAGGTAATAGAATCAATTCTACATCTA  
TTTTTTGGAAGTATTATCAGAATAACGTATTACATATTAACTATTAAATAACATGATAT  
TTAATTAGAAGATTATACATTATTTGTAAAAATAAGAGAAAATAATGAGTATACAAAGAAGTATTT  
GATTTGTTATTGTCTTCATTCTTGAGCAAGGTTTAGCCTATGAAAATTCCCATGAGTTAATTCTG  
CTGCTTCTTAAACTAAATGAGGTGACAATCGAGGT

all12293

GCTAACACGGTAGATAGACTCAAGCTGACAAGAATTGGTGGTGACAATTAAAGGTTGGACATGGTAAGACCCAGTATTTCTATTTCTATGTAATAAAATAAGTTATTTATGACAGTAGATTACGGTAATAAGCATAAGTAAATATTTGGTACCAATATATACTTTATCTCTAAAGATTAGAATCAGAATAATTATTTATCAACTGAATAGATACTTATGGTAGTTATCTCAATCTTTCTAAGTAATAACATTGAGAAAATTTCATACAAAGATTACTTTATGTAATTACACTACGTATTTATATTGCAAATTAACTCAATAACTAGACTTTTTATACTGATATGCCAATAACATGAGAAGAGAGTAATAGAGATTCACTCACTGTAACTCAAACATGGGAACTCACCGTTGGTTAGTAAATACTTATTCGACTTTAAATATTGGTGATGGCAATTAG

alr2294

TAAATTGCCGCATCACCAATATTAAAGTCGAATAAGTATTACTAAACCAACGGTGAGTCCCATGTTG  
ATTAACAGAGTGATGAATCTCTATTACTCTCTCATGTTATTGGCTATATCAGTATAAAAAAGCTAG  
TTATTGATTAATTGCAATATAAAAACGTAGTGTAAATTACATAAAAGTAATCTTGTATGTAAAATT  
CTCAATGTTATTACTTAGAAAAAAGATTGAGATATAACTACCATAAGTATCTATTCAAGTTGATAAATAAA  
ATTATTCTGATTCTAAAATCTTAAGAGAATAAAGTATATATTGGTACCAAAATATTACTTATGCTTAT

TACCGTAATCTACTGTCATAAAATAACTTATTACATAGAAATAGAAAATACTGGGTCTTACC**ATGT**  
**CCAAACCTTAATTGTCACCACAATTCTGTCAGCTGAGTCTACACCGT**TTAGC

*alr2372*

**AATTGTT CCT CTT CAAT AGTA ATT GAAT GAA ACT TTG TACT CAAT TTG ACT TATT AGATT CCAT AAATA**  
 GCAGACATCATATAGTTGACATAAGTTGCTCCAAAATTATGAGTACTTAGAGATGGAAATCCGGAGA  
 CAAGCCTGTCATAATAAAAAGGTAACAGCTGTTAATATTAGCAACAAAATTGTGACCGAATTTCATCC  
 TTACTCCCCATTAAACACGAGATTAAACAAGGCTACATAATCTCTCTGAGAGCCTGAGATATAAATT  
 TTATGAGGATAGAGTATCTCATTGAGTTATTGGAAATCAATAATTAAAGGAAATTTTATGTAAA  
 ATCTGATTGATCTGTTAAATGCAGAGTAGATTAGGTAGGAATGTGAGTTACCAAGTCATGCTGCAA  
 AAATGGGTAAATTCCACTAGAAACAGACCAGCAGATGCGTAGTTAATCAACTCAAATAGAAGAATT  
 AGCTGAGGCGTGTGAATTCTCATCTCAAGGGATTGGCGAACTACTGGCGAAGATCCCCAATCT  
 CCAGCCAACTCATAAAAATAGCCGATATGTAGCTATGCGATCGCCTGACATAACACGACTCAACTACAAT  
 ATATATAGATATTGAGAATTGTAGTTAGGGCTAGCTGT**ATGGCTC**

*al12770*

**ATTGCTCTGTTAGGCGATCGCTGTACCCCTGTGTAGCCTGCTTCTAAAATTCTCCGACATCGTT**  
 TTCCCTCTGCGCTTCATCGCTGTGCGATTGTATTACCTGTATTCTCATGCAGATGATGTACTA  
 ATTGCACTCATCTGAAAGAAAATTCTGCTTACCATCACCTATAGCTAGATTGATGATGATTGT  
 CATCTAGTCAAATTCACATATATGTATATTGTCAATAGATAAATCGTAAATTGTATAATAATTCAAATA  
 ACAACATTACATTCTGATTCAACAGCATTATAGATAAATCTAGTGCCTAGTAACGTCTTGAGTCGGGA  
 AAATTAGATAACAGAGATAAAACTTGTATCCGATAGCTGATTCACCGAGAAAAATTGAGATTTC  
 ATGAAGAATATCTACTGACTCTATGTATACTTAAGCAGATACTGATAATTGCTATAAAAGAATCTCTACC  
 ACCTGAATTCTAATAC**ATGAGTATCAATAAAACTCAGTCATTGTTGCCAGTACCCGAGGT**ATTACAA  
**GTCCTGAGTT**

*alr2832*

**ACCAACTACGAGCCGAGCAAGACAATAATTGGCCCCAGAAAAAGTTCTGGTAACTGTTGGTTAA**  
 GGGAA  
 CACCAAAAATGAATTAGCCACAATTGATTGTTGGTAGGGTGCAGTATGAAGATTCTGAGTATAG  
 TTAGTTCTATCGCACTGACGACCCACTGGATAGTCTATTACCAATTACCAATTACCCATCTCAAAA  
 CGCCCCCCTCCATCAAAGGGGGCTGAAGCTATCTGACAACAATTAAATTCTATAATTAAATAGCAAA  
 TAATTCAAAGATAGAATCAATTGAGTTATTGTAAATACTATTACTAGCGCGCATCACTCT  
 GATTCTACAAAATTGATAATGTATACTTAAAGCAGATACTGATAATTGCTATAAAAGAATCTCTACC  
 CTGATATCTGCTGAAATTGAGGAAACTTACAAACTAGCTGAT**ATGAAAGTTGCTCTAGTCC**  
**ATGATTATTGACCCAGCGCGTGGGCAGAACGGGTATTGAATT**

*alr2856*

**TAATAAAAGCGTAAAAACTAGCAAAAGGGATGTATGCGAGTAGCTAACGTCTAGCAACATATATC**  
 AAGATTTCAGTTGGACTGTGTGACAACACACACGGCTTTATTGATCTGCTAGATAAATAGATATTAC  
 GCCAGACAAAAGAACAGTGAAAATACGTAGGCTATTCTGGGGAAAAGCTTGTATAATCTTTATTAAATC  
 TTTATTGATTATTAAATCAGGTTGCATTCAATCAGTAGCAGTAATTAGGAAAATAATCAGCGAACAA  
 TGATTACAGTTCACAGCTTAATCAATGGAAAACCTAGCATAATGCTGAAAAAGCCCGGACACTCG  
 AAGCTTAATTCTAGAGTGAACAATGCCTACAATACCCCTAGTTGATAGGTACTGATCTAGGTGGATTTC  
 AAAAATTCTAGGAATTCTATAGGACTCATACTGATTGAAATATACGTAGGGAGCCACTGCGTT  
 GGTGAAGCAGTACGGCTTGGGTTCCCAAGTGGAGTACTGCTGAAAGGGTTCCGGCTGGAGCA  
 AGTGGCGTTGGCAATGCCACCCCTACAGATAATGAGAATTGAGAAATCAATCGGATTCCTATATA  
 ACTGAATAATGTTGAATATTCTTATTGGCTGCATTACTGTTCTACATCAATATAATGAAATAAC  
 TAATTGAGTTAGTGTCAATCTTGTAGGTATTATCTGAACTATGCCTCCAAACAAGACGATCAAGACCT  
**GATTAACCTCAACAGTATTGGCTGATTGTAAAAAG**

*alr2861*

CAGTAAAAACTTTCTTATACGGTTCAACATATTATGCACAAATAAATGATTATGTATAAATGGG  
CAGATATATATTCTTGCTTAATTAAGTTCTATAATAACTAGATGAGAACCAAATTCTGATGATAAAT  
ACTAAAGAAAATATTCATGATTTTATTAAAAGCAATTATTGATATAAAAT

*alr3057*

CTGAGGGTTACCAGCTCATGCAGGTAGTGTAGCGGTGCGTTGCAAGGGCTGAAAGATATGTAGGGGTG  
TTGGGGTATAGGGTTAGGGGTATAGGGGTCAAATATATTAAAGAATGAAATGTAATCCCCAAT  
CCCCAGTCCCCAATCCCCAATCCCCACACTGGCAACCCAAACAACCTACTATATCTATTCTATTAA  
TCGATGCTGAATACCAAGTTACTCGATTAGAGGCAGCGATCGCATTGCTCCCTGCTTCCCGGAATT  
GAATTAAACGCCGAGCAGATTTCAGGCCACTAGTCTCACATCATGAGAATAAAACGACTACTGATTG  
AAGGTTCTGAGATATTGGTCGAAAGATTTCAAGCCACTAGTCTCACATCATGAGAATAAAACGACTACTGATTG  
CAAAGTACAAGCAACTACAAAAGACAATAAGCCTGTTCCGACAAATACACAAATTAGATGAAGCTATG  
ATGAAGTTGATTTAAATTAAATGAAATTAAATTCTATGTTGCGTAAGTGCTTACAAGTGTATATACTCTC  
TACAATGTAAGTTTGCAAGAGGGGAATGATACTAGTGACTTTAACCTAGAGATACTACCATATAC  
CTGTGTGTTCTATGTAAGTAGTTATAAAATTACAACATTGCACTATCTCCCTATTGACTTAAT  
TGCAAACCTGCGGGGTGATGATATCGCCTAGGGTGTGAGTAATGCGTAAACCAGTTCTAACCATCTTTA  
CCAGTTCAATCCCTGGCAAACCTCTATTGGAGGAAT

*alr3061*

TCTTTATTGGTTACTTGCTGGCGTAGCCGGTGGGATGGAACGCCAACACGTAATACAA  
TTCAAAATTCAAATAAACATTCTAAATTCCATATTACACAGATTAATAAGGAAGCATC**ATGGCTG**  
**ATAATTCTCAA**ACTAAGAAAAACTTATACATCCAAGTATTGCGGGGTAGCAG

*alr3068*

TTAAAAGTGGATATTACAGTTCACATGGTTATATTCTGAAAAATCTCACAATATTAATGAGT  
ATTATTAAAGGAACATCAAAAATAATTATCCGAAACT**ATGCCTACTATCTGTAATTATTCC**  
**TGCCTATA**ATGCTGAACGTACTATTAGAGACAATATC

*alr3069*

AAAAATGGATATTAACACTAAATATATCCTAACGAAAGAAAAATAATCCACTGATGATTAAATAATCAAG  
AAAAATATCTCCTTGGAGGTATAAGGCTTTAGTATTGGATAAAATGGCTTGGCGTGATGTT  
TAAAACCCATGCCGTGATTCAAGACGCCAGAAATTACTAATGATATCATCATCCATCCTCCTTACT  
AATTATGCCGACGCCATATAGCGACAGTAAGTCATCGCACACATTACGCCACTGCACATCCATG  
AACGCAGCTAAAAATGACACAACAAGTAATTAACTCTACAAGCAAAATCATCTACACCATTAGAAAA  
CCAAAAGCG

*alr3073*

TGTCTGTTATGGAGTTAGGTATATTTCACAATCGCACTCGCACTTGAGCAAGGTTAGAGAAA  
TGCTTAAAGTAATTATTGAGAGTTAGTACATATTAGTTGTGGTAGCTACTTTGAACAAGC  
TCTTATGTGGTTTGATTAGTTAACTTATCTGCGGAGATTAAATAAT**ATGCCTAA**ATCTGTA  
ATTATTCCCGCTATAATGCTGAACGCACAATTAGAAACGATTAA

*alr3464*

ACTTCTGAGCATTGGTTACCTGGGTGCAGAAACCACTCGCAGCATGGCTAGCTTACTAAAGGAAT  
TCACTACCGATTCTTTGCTCACAAATAAGTGTCTCGATAGCAAGCCTTTAGCTTGTAGGGTGG  
GTAGTAATGGCGTCCGCTGCCGTAGCCATGCCCATCCTACACATCATGAGAAATTATAAAAATA

CCTAGTGGTTAAAGGAGCAGGTTGCTCCTTTTCTTCGTAGTCATAGTCAGTAATAACTGTTG  
 ACCACTGACCACTACAACGAACAACGACAAATGACTATACTGGATTAAATTATCCTGAAAAAAGGGTG  
 GTGTGAGCAATGTGGCATCGTGGGTATATCGGAACCAAGCAGCAACCGAGATTTGTTGGCTGGC  
 TAGAAAAAACTAGAGTATCGCGGTTACGATTCCGCAGGTATAAGCTACGGTTGGGAAGGGAGATGTAATTG  
 TGTCGGAGCCAAGGGCAAACCTCCATAACCTCGCTCTAAACTAGAACAACTGGCTACTCCATCTCAAATT  
 GGTATTGGTCATACACGTTGGCAACTCATGGCAAACCAGAGGAGTATAACGCCATCCCCATTAGATA  
 CAGCTATGCGAATCGCTGTTGCAAGATGGGATTATTGAAAATTACCGCAGTACGCGACGAACTGAA

*al13509*

GATTGCAATAGTTCCACGCTAGAGCGTGGTACGTCCCCGTTACCGACAACACTAAACTTCAC TGATT  
 CCTCTTGCCTCTGGCGAAGCGAGAGTACTTTATGACTCTCGCGGATCAATTCTCACCAATTCTGAC  
 CTTGATGCAAGTCCTATGATGGGAGTGCTGATTGTAGGGTATGTTAGTGCCTGTTAAGTAAAGAATCA  
 TTCATTCTTACCCAACTCCCCATTACCCCTTATCCCCAGAGGGGGCCCCACCTCCCCAGTCCCATAATA  
 AATTGCAAATTAGAATAATTGTTCTAAAATAACTAGGAAATAATGACGGAACATCATTGTCACTAT  
 TAACCTGTGGATATGTAAGATTGTTACTGATTTGAAACATGGGTGGGTGGCAATACCCACCAAA  
 TCATGATACTGGTGGCATTGCCACCCCTACAGATACTTAGATTGTTCAAGAATCAAATGGATTCTAT  
 AGAAACTAAGAAAATAAGAATAAAAGTAGGTAAAATGGCAGGAAATTATAGTTACTGGAGCAGCAGGATT  
 TTGCTTCTCACCTGGTAGAAACCTACT

*alr3756*

TCACTGTTGGGCAGGAGTTAAGGTTCAAAGCGGAGGTGGAGCGATCGCACCTGAGCAATAGTTCA  
 AAGTCACGATCACTGTGAACCTAAAGTAAATAAGCATTCTACCCAGAATATATCAGTATATTAACTTGT  
 ATTTGTACCTAAGTACAAGAGATTCACTGTTACTCCTCGCTGATATAGCAAAGATTCCGCCTAATATCT  
 AAATTGATGAGTCCCCGACTTCATGTTATTGCTAATGCGATTCAATTCTACCGCAGTGCTATCA  
 ATGTAUTGTTAACTCTCCGTATATGCTATACAAGCAACGCCAACAAAGCTGTGAAATGGATGG  
 ATTGTTCCCTAGTTGGGACATT

*al14219*

AAATTTATAATACTGCGATCGTATTGGTGGTGAAGAAGCCAAATATTCTGATTGGACTAGGGTTG  
 AACTAAGCAAGCTGGATTAAAAAGCACAAAGTGGGTGGTAAGTTGAATCGGTGTCATCACCCACC  
 CTTGCAAAATAATGAGACTAACATTAACACGCAGTGGCTTAATAATGTTACTTGACAAAACATATAC  
 AGTTGATCATGAGAAGCAGTGGTAATATCACTGCTCTTGATTAGCGCCCACTACTGATATATTG  
 GGCATAACGTAGAGAAATTATTAAAACCTTGAGATGCCAAAAATGTAAGTAATATTACAACGAAT  
 TTGATACCTGACTAAAAAGTGACATCTCAAAAGCCTTAATCTGGGCAAAAGTTAAAACCTCAC  
 AACTGCAAATCCTGTT

*alr4239*

CTGACAATTCTCACCAAACCCAAAGAAGAGCGCACCGCAAATTTCACAGATTCTCTAGTGCAA  
 ACAATTACCTCGATGCAAAATTGCATATCTGAAATCTTACTCTGGTGTATGCGTGATAACTGCCG  
 TAACTTGGAGATAACAGAGTATGATATCTACTCTTCTTAATTGCCAAAGGGTAAATATAACTCTT  
 CCAGTGGGAGATGCCACATTAAATGTTATGTCAGTATTAAATAGTATCTCAGGAACGGCAAATT  
 TACTAAATCTTAAATTAGTTGCTTAGTTCAACGATGCACAACCAGTTAAATAAGGAAAATTNTTA  
 ACCCTCAGCCGACAGGGAGACTAACGAAATCGCTATCTGGTTTCGGGTGTAAGTACTGTTCAATT  
 ACATCCACAAAACGGATGCCCTCAGCAATTACCCATAATTGCGTATTATTCGATATAAGTTGTA  
 TGATACAGTAATTACATTGATAACAATAAGGTTATGTTAGTAAATAATTACATAGTGT  
 ATTAAAGAAAAGCACAAATCAATCACATCTTACTGACGAAAGCAATAACAATTACCGAATCTTCA  
 AAGAAAACCAAGTGACATAGAAACTATAAAAGGGAAATTAAAGTATTAGATGTTCAACATAAGCA  
 ATCTAGACCTGCTTAGTTATCCAAACCAGCCAGGGACTCTGACTAATTGTTATGCAGGATTAA  
 TTACTCATATAACTACTATCCAGAACCAATTGGTATAGCTCCCCTAATGAC

*al14388*

TTATCAACCAGATTCAAAAACAAGACACATCTTGCATGAAGTAATTGATCAATCAGAAGTATAGCCGTA  
 GCTAGACAGACTAGGACATCAAGCTAAAGATAAAACCTGGACACACAATGATTCAAGTCTGTCAACAGC  
 TATATCTCAGCAAAACTAACTATGTGAAAATTATTCACAGATGTTAGTAAAATCAGGCAACTT  
 TACTGTAACTTACTAAAAATTCAAACCTGGGAAAAAATATTGACCGGATTAAGATAGTTTAGGAA  
 AAATGAGAATTGTCGGGAAACTCAATACTTAAGTATAGTCAGAATTTAGTTAGACAATACTTAC  
 CGATGGTAGTCTCAGAGTTAAAAATATGCTAACACAGGTCGCTGAAATTCTATCACAGCCAGCTG  
 TGGGTCAGCTTGCTAACTGC

*al14426*

TAAGACCAAAGTCTAACGCCCTATCTAGAAATGCGTCATCAGAATACTTAGATATCAAATAGTTACT  
 GAAATATTACAAAACCTAATGAAAAAATATTGCAATGAATGTTTACTAATTAATAAATCTGATATTG  
 ATGGTGGTGCAGCTCGTGCAGCCTATAGATT

*al14432*

CAACTAAAATAACGCACCAAGTTAGGTTGACAACCGATTCTGCCGGATAAATAAGGGATAGAAAAAA  
 AGAGTCGATTGGGAAACAAGTCATGTTCAATACGCTGCAATCGGTTAGTCGATTAGTGAAGAGAAGAC  
 AAAAAGGCATCGCTATAACTGATTGATACGTTGGCTAATTACAGGCTTGGTCACTGAAATCCTAT  
 GAGATAGCCAAAGTATAAAAACCTTCTGACCCCTACAAGTGTGGGGAAAATAATTCTCTCGTTAAATA  
 ATTTGCTTTCCCTATATATAACTTTAACAAACTTTGCTGTCTCAGGCTGAAGCCCTGGGAATGG  
 TACAAACAGGGAAAGACAATGCTCATGAGATTACTAGTAGAACACAAAATCTATGAATTTCCTGAAAC  
 TTGTTCATTAAGTGTAACTACATAACATGGTATGATATGACTGATTAGCATATATATCAGGAAATAT  
 CTTGGTGAATAACAACTTACTTATCAATCAACAAACTCACTAGTATTCTCTAGTTATATTAGGAAAA  
 ATTGCGCATCGTAATTAGCACCAATTAGGTGTTATTACAACAAAAATCTTGAGTGCTTT  
 GGAGTTAAGTGTGATAGTCTTCTAGCTCAGTTAAAGTCACCTTGCTTTAGGTCTTAAACAA  
 ATAAAAGAGCATGAGTTGTATGATGAGGTGCTTCATCAATCAAAGGATTCAAATCGTGTACTGTA  
 TTCTGTTCTGTGATGGTTAAACCAAATAGTACACTTATAAAAAGTCGTTAGTTGATATCAACTGA  
 TGAGTAAATCCACAAAATTGTTCTGATAGTCACAGAACACATGAATATTGTTAAGTAGAAATACA  
 GTGTTAATGGTGCATAAGCACTGGTATAATCTGCTTCGACAGTCTTTATAAAAGTTGTATATATG  
 ACAATGGACTCTTACAAGGTTGAAGAAGTAGATATTACAAATACGTAGAAGTTCTTC

*alr4485*

AAGAACATCAACGGGCTGAACAAGAACGTCAACGGGCTGATAGACTGGCAGAGTATCTGCGTTGACCGGA  
 AGCGGCTGTCTTAGACATCGCAAGGGATTGACCCAAACGACCTACCCACGTAAGGCTAGGGCTGATA  
 GATTGATAGAATAGTGCCTAGAGATCATTCTCAGAGAACAGGCTAGGCATAGAATTGCCAAATGCC  
 AACTGTTGTCTTAGACATTGCCAAAATATATCTAAAGAAACTTCAGTTAACGCAACCACATATAGAT  
 GATCCACATATATAGATGATGGATGTACGAGATGTATATTCTCGTATAATTGTTGGTATTAA  
 ACTCTTAATCAAATTTAAGATTAGTAGTTGCTGACAGAAAACCTTAGGAACTGACTAACAAATAACTG  
 GTCGTCAGGATCTAAATATCTTGGTTGTTAGTCTGCGAGCAAGCTGATAAAATCTGCTGATATTCAA  
 AAAAGACTGAGAAATATGAACTTCAGTACTAACCAATGCAAAAAAAATGCACTGATAGTATAGAATG  
 CGCGAATAACTCGCTGTGGCTGTGGTGGTGAAGATGGCTCTGTAATTAAAATAATTCAAAC  
 GGCTGCAAGTGCAGCGCTACTGGAACTGCTGCG

*al15073*

GACATCGTTATTTAGTGAACTTACCAATTACAATTGGCAAAAATCGGAAGTTAGCGATATTGATGAAA  
 ATTCTATTCTACTGCATTGATGACCGAATGCTTAACGTCAATCAGCATGGATAGGAATTAATAAT  
 TTGCAATTGAGTTATTACCTTTATAATGAGCCGATTATGATTAAGTCACGTTACTGGGGCTTG  
 GTAATCAAGCGCAGCTTATTGAAATTAGTCTGGCAACGATTACTTATCTTACCTCTAAAC  
 CAGTTCTAGCTACAAG

*al15222/alr5223*

TCAGCTTCTATAGGAGTAGAAATGGATTGTATAAATTGTTATTAATCCATTGTTAGTCTCATCGGCT  
 GTGTCCTATTGGGAAGTTATAAACTTACTGATGACACTACCGAAGTGCCTAAGCCATTAATTGCAAGC  
 ATAAGAATTAACTCTGGTTTATGACATGGAAACATCTTGGTTATACCTTCCAAGTCTATAATGTGT  
 TGATTATATAACAATCTAAACAATCCAAACTTCACACATATATCCCCTCAAACAGTCCATGCTACATAACC  
 AATAATCATGAATAAAATGCTTTCTGCACAGGGGGAACACAAATAAAATTACAAAAGCATTACTAAT  
 CATTCAATTGCTACATGAAGAAGGTATTCACTTAGTAGTTAACTATTTAGTATTGTTAAATAACTAT  
 GTCGCTAACTTCTCAGTCAATAAGGTATATAACAGGCACATGTTCTAGTAGAATTGACGAAAATATAG  
 GATCATACAATGTACCGATTTGGTTATGAAACCTGTTGTATCTGCTCCAACTTAATTTTACTGT  
 ATTGGGGGATCTCAGATCAATTATTAATCTCCTCGCTTTCTGCTTAATCTAAGTGTAACTCACGA  
 GGTATACGATACCATGTTAAAGATGCCTGGCATCCTCATAAAAAGTCATCTTACTAGGATGTTTT  
 TAGGTGTTCTTCATAAAAGGTATATTATTAAGTGTATTAAGTGTATTAACACTACATAGTAATCAAGTGTAGTTA  
 AATCTTCTTAAGCGTAATGCCCTAATTGTTGGTAAACAACAAATAATCACCTCTTAATTCCAGTTT  
 CAAGGTTGCAACTACCTAAATAGACCAATGATGTTAACCGAATACTTATCTCAATGACTGATTGATT  
 TACAATTGAAGTGTATCCAAATTAAACATCTACACGGATGATATACTTAGAATCATTAAACTTTATA  
 ATACGGAGTTGATATCTCAGTTAGGATATTCCAGTGAAAGTAGTTATTTAGATTCAAGTAACT  
 AAATAATTAGTGCAACTAACACAGAAATTGCGAGTCCGTGATTAAATGATTGGCCAAAAGTAAATA  
 TTCATATATATAACTTACACTCGTAGGAAAGTAGAAAACATTATACTACATCTTAGCCATTATT  
 TCCAGATAGTTAGAACACACATGAATAAGCAATCTACCAAACTTAAACTCTGAACAAAATGGCAACTCT  
 AAATCTTCTTGCC

*alr7196*

CTCCTTCCTCGTTAGCCCAGGTGAGGGTGAAAAATGGATATTTAACTAGCAAGAAGTTATATTAAACTCT  
 TGGCTGGCAATTGAGTAAAAACTCTGTTAAGATGTTGCTGATGTTAGACAGAATCTCTGTCTAACATC  
 CCCAAATTGTTGCCTGTAAGGGTTATGCTGCATAAAGGTATTGATAAACTCACCAGTGAAATGCCCTA  
 CAGCATGGCGGAGCATTGTCGCTAACTCTACAGTTCAATGAATTTCATAGCGTAGATGATTATATA  
 GCTAATTGCTGTATTATCTGCCAGTGTGAAAATAACAAGATTAAATCTCCTAAACTTATGGAGATTAA  
 TATCTATATTAAATCTAATAATTCAACACAGTATGTTAACCCAGTATGTTAACCGAGGCGAAGAGCCGGAC  
 TAAGATTAGATGCCATCGACTTGCAGAAATATGCCACCCCT